



计算机视觉

董秋雷

中国科学院自动化研究所

qldong@nlpr.ia.ac.cn

提纲

1

深度学习与卷积神经网络

2

图像底层特征提取

深度学习的发展历史

人工神经网络



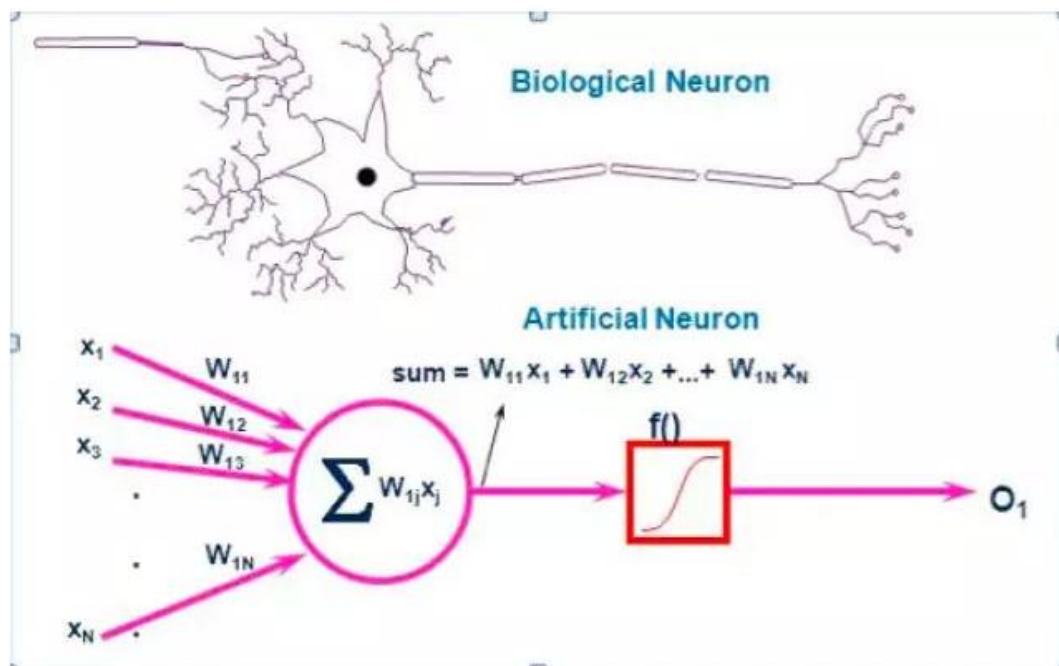
浅层学习



深度学习

生物神经元与 MP 模型

| 生物神经元 | 神经元 | 输入信号 | 权值 | 输出 | 总和 | 膜电位 | 阈值 |
|-------|-----|-------|---------------|-------|--------|-----------------------------------|-------|
| MP 模型 | j | x_i | ω_{ij} | o_j | \sum | $\sum_{i=1}^n \omega_{ij} x_i(t)$ | T_j |

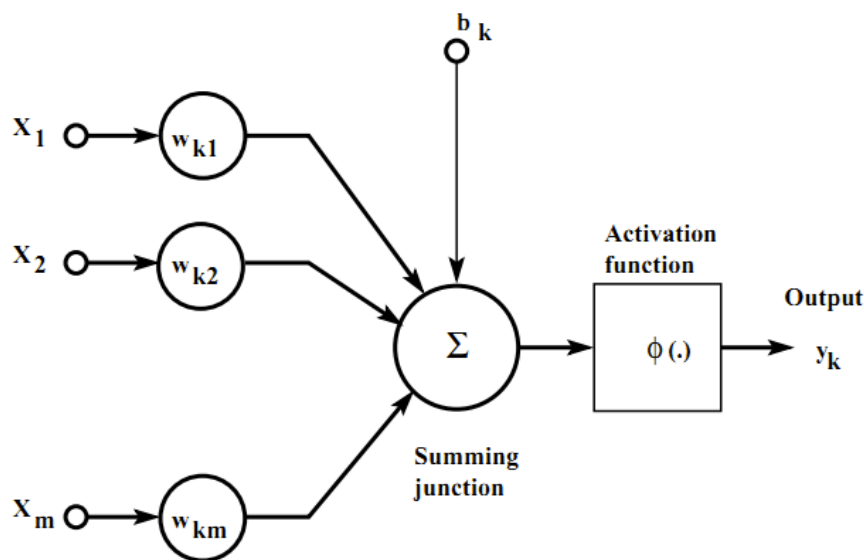


深度学习的发展历史

人工神经网络

浅层学习

深度学习



1943年, Mcculloch 和 Pitts提出神经元的数学模型;

$$y = f[\sum W_i x_{Ei} - T]$$

$$E = \sum W_i x_{Ei}$$

$$y = \begin{cases} 1 & E - T \geq 0, \text{且} I = 0 \\ 0 & E - T < 0, \text{或} I > 0 \end{cases}$$

深度学习的发展历史

人工神经网络

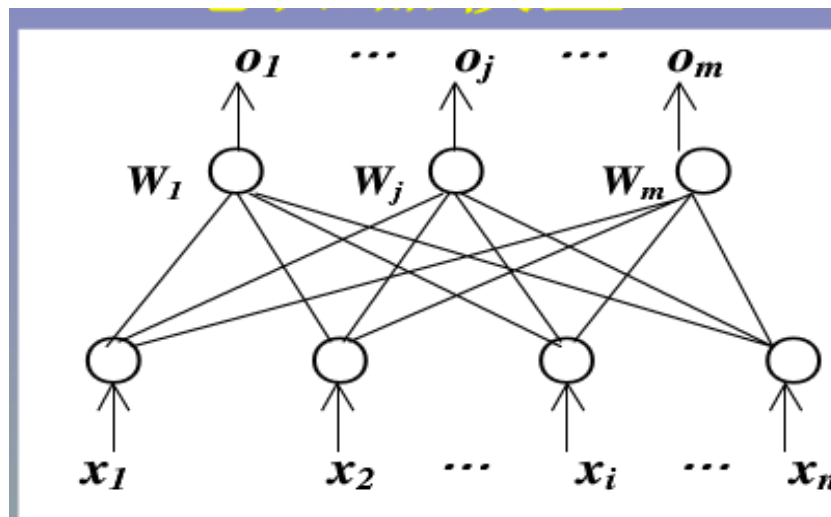


浅层学习



深度学习

50 年代末，Rosenblatt 提出了感知机模型；



1943年，Mcculloch 和 Pitts 提出神经元的数学模型；

深度学习的发展历史

人工神经网络

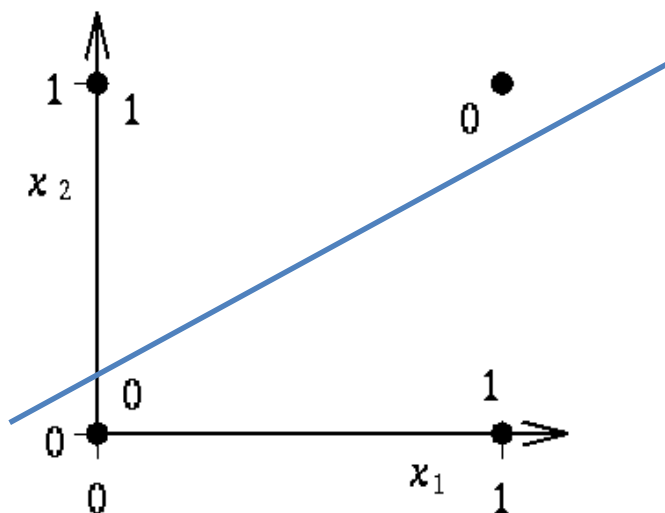


浅层学习



深度学习

1968 年，《感知机》中指出线性感知机的功能是有限的，它不能解决如异或这样的基本问题；



50 年代末，Rosenblatt 提出了感知机模型；

1943年，Mcculloch 和 Pitts 提出神经元的数学模型；

深度学习的发展历史

人工神经网络

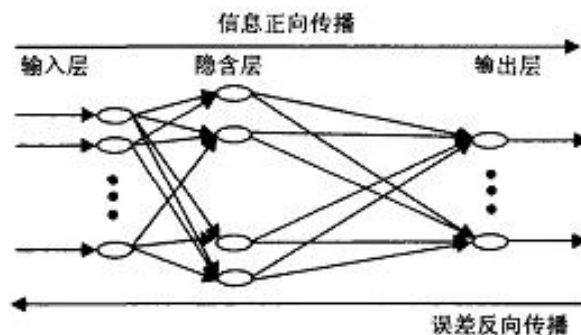
80年代末期，BP算法提出。

1968年，《感知机》中指出线性感知机的功能是有限的，它不能解决如异或这样的基本问题；

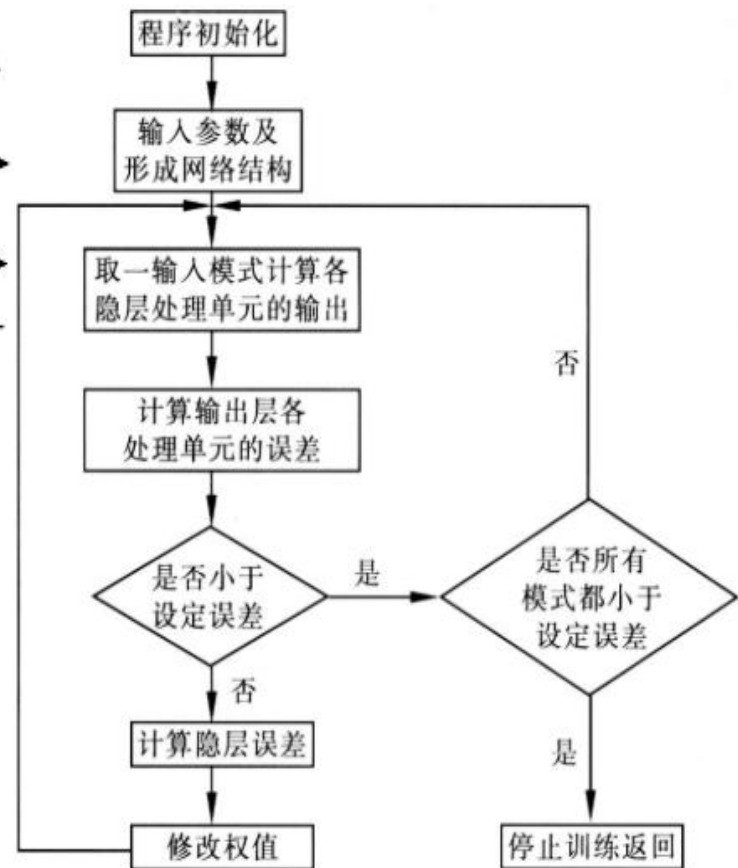
50年代末，Rosenblatt提出了感知机模型；

1943年，Mcculloch 和 Pitts提出神经元的数学模型；

浅层学习



深度学习



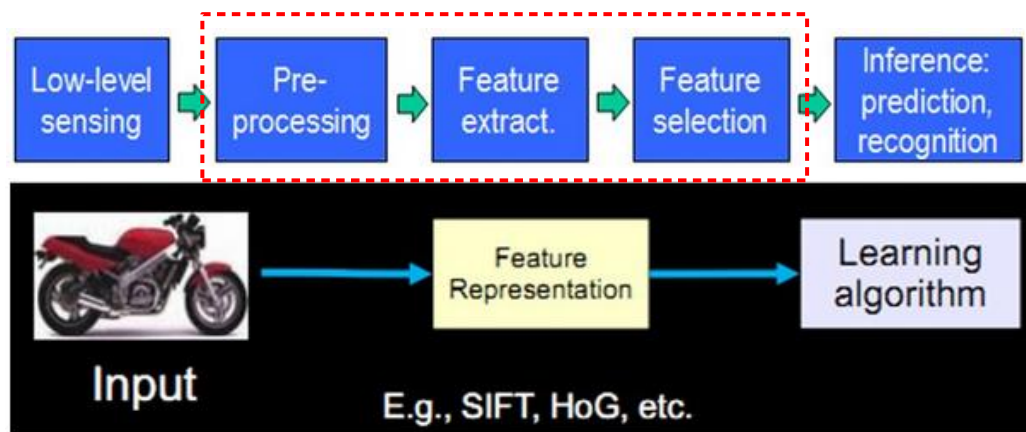
深度学习的发展历史

神经网络

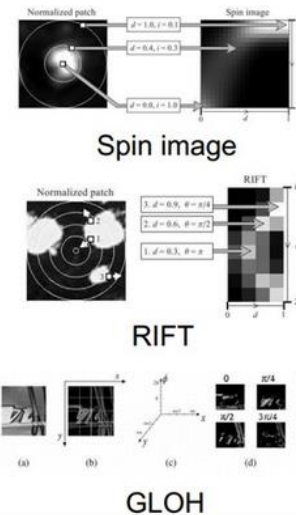
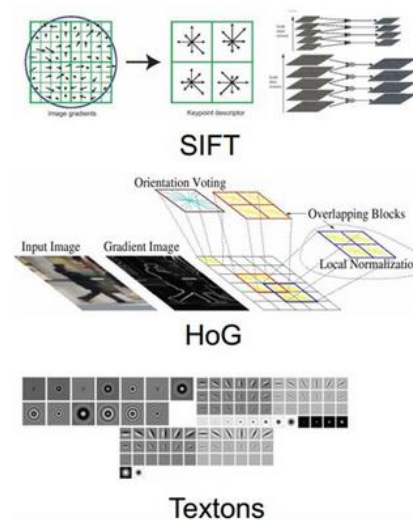
浅层学习

深度学习

90年代，SVM、Boosting、最大熵方法等方法相继被提出



$$y = f(input)$$



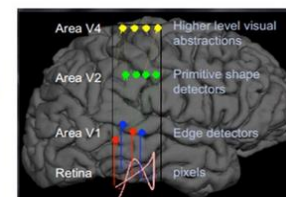
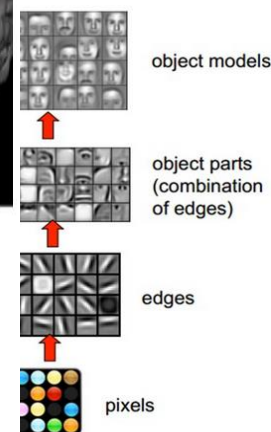
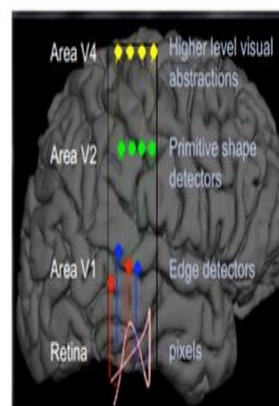
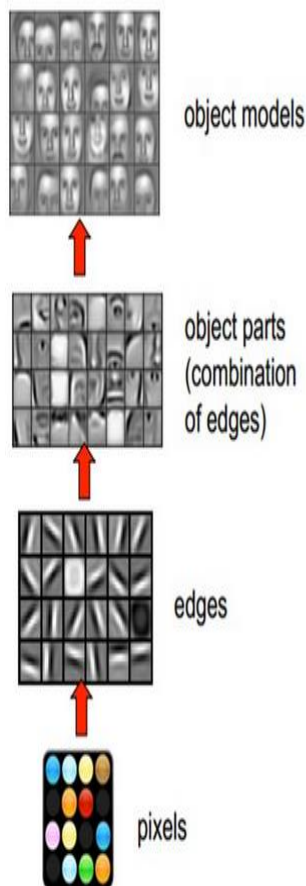
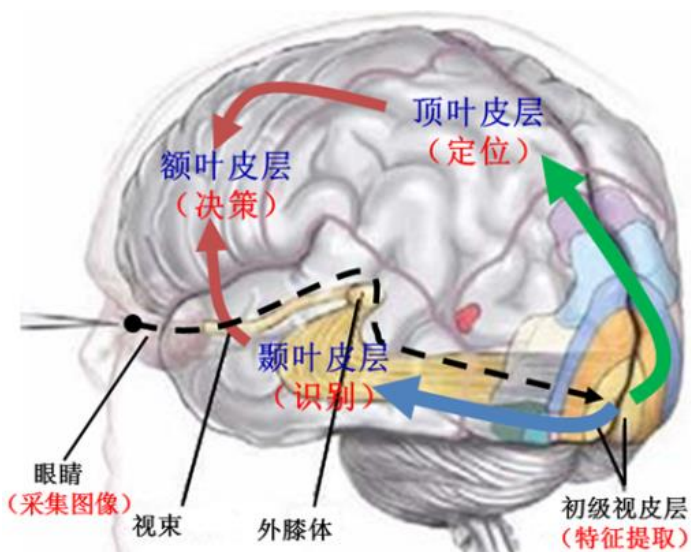
深度学习的发展历史

人工神经网络

浅层学习

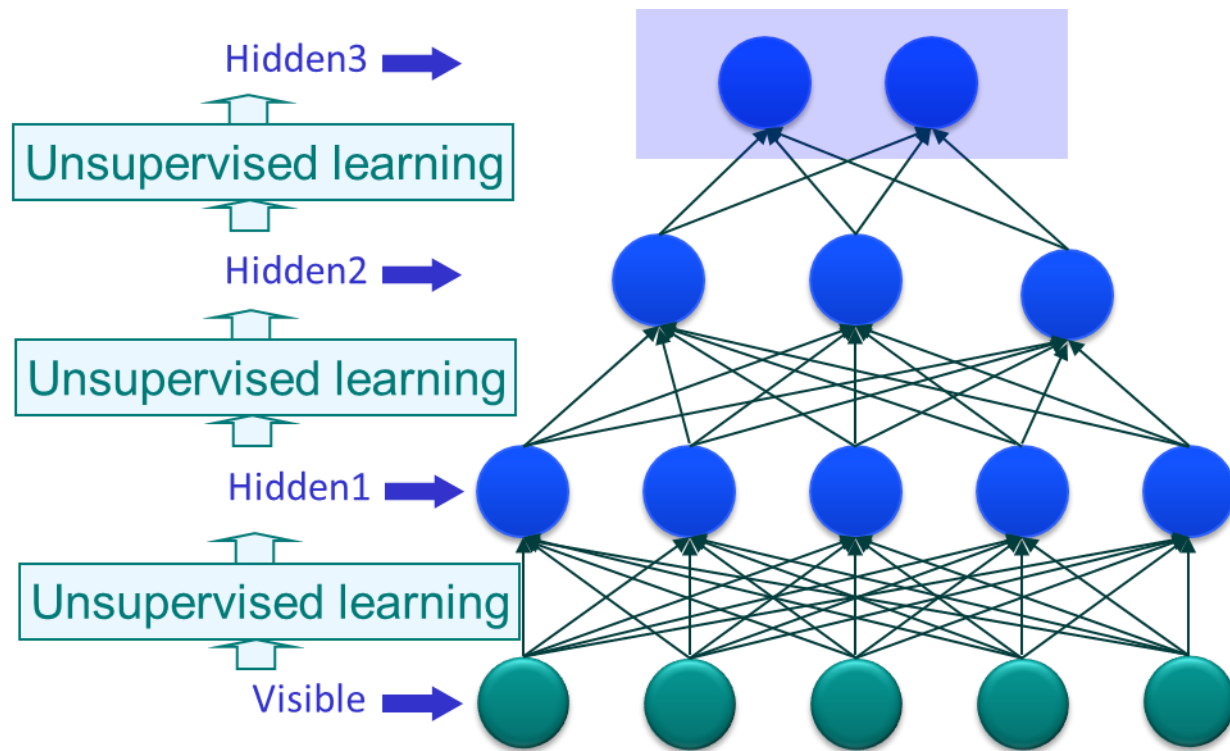
深度学习

2006年, Hinton等人提出了深度学习的方法



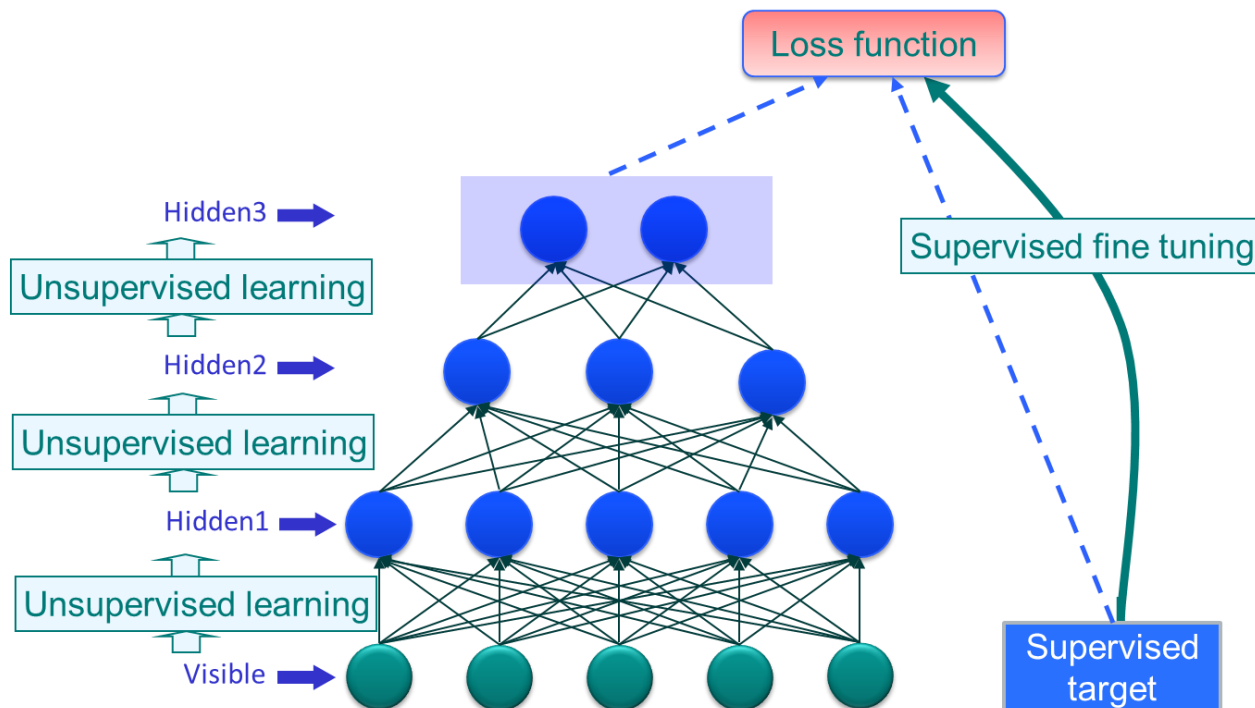
深度网络的基本设计思想

堆叠多层网络，即将低一层的输出作为高一层的输入。



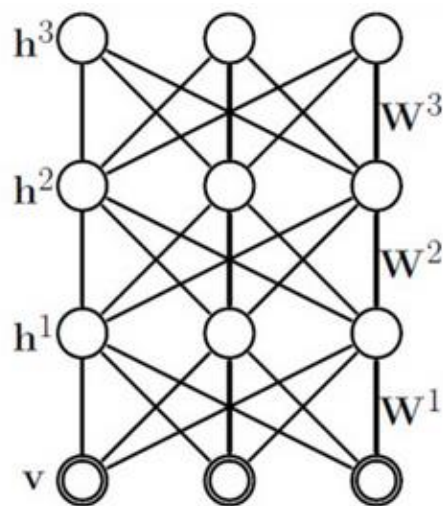
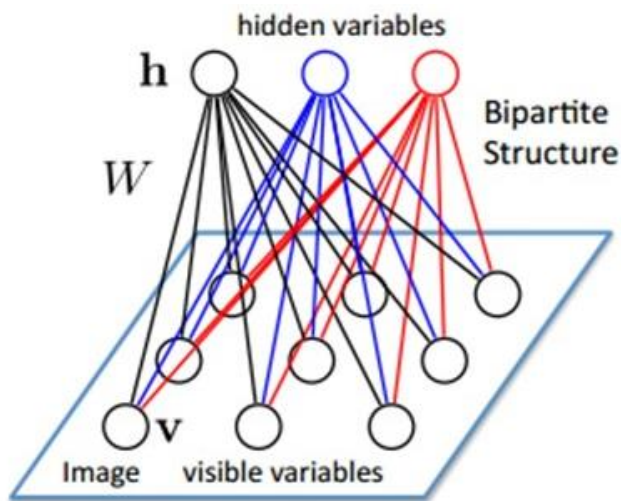
深度网络的训练

- 逐层的无监督训练：由最底层开始；
- fine-tune：基于第1步得到的各层参数，整体优化整个网络的参数

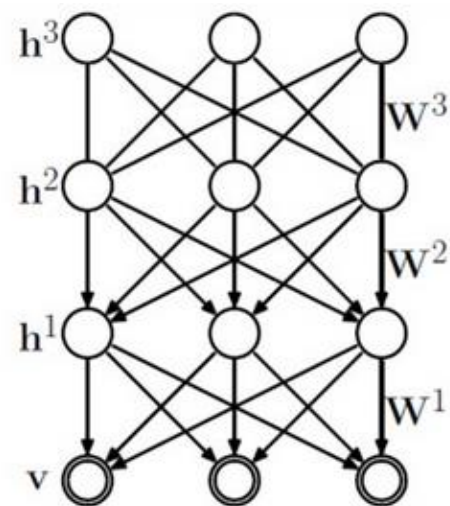


深度学习的常用模型

- 受限的玻尔兹曼机 (RBM, Restricted Boltzmann Machine)



Deep Boltzmann Machine



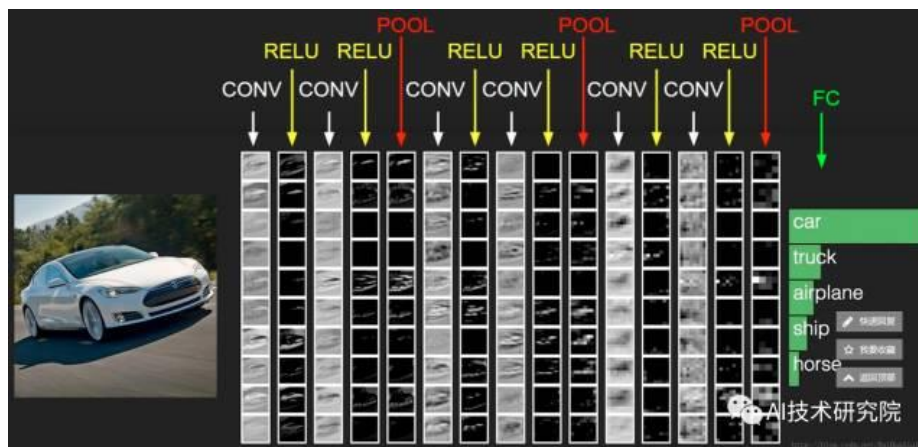
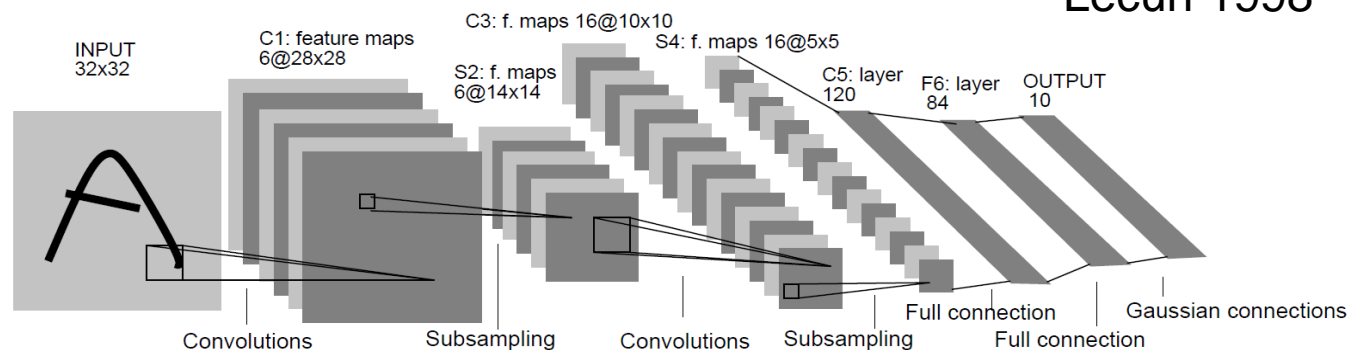
Deep Belief Network

深度学习的常用模型

- 卷积神经网络 (Convolutional Neural Networks)
- 第一个真正成功训练的多层网络结构

3 6 8 1 7 9 6 6 9 1
6 7 5 7 8 6 3 4 8 5
2 1 7 9 7 1 2 8 4 5
4 8 1 9 0 1 8 8 9 4
7 6 1 8 6 4 1 5 6 0
7 5 9 2 6 5 8 1 9 7
2 2 2 2 2 3 4 4 8 0
0 2 3 8 0 7 3 8 5 7
0 1 4 6 4 6 0 2 4 3
7 1 2 8 9 6 9 8 6 1

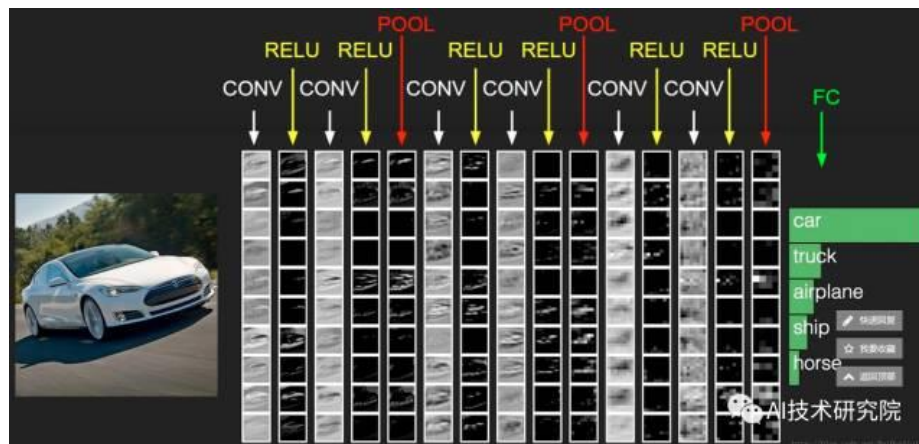
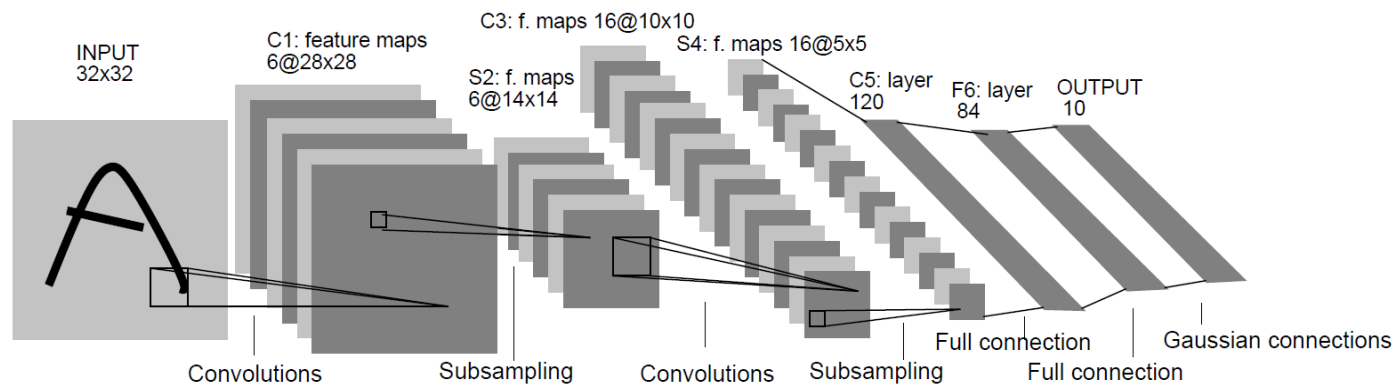
Lecun 1998



CNN基本结构

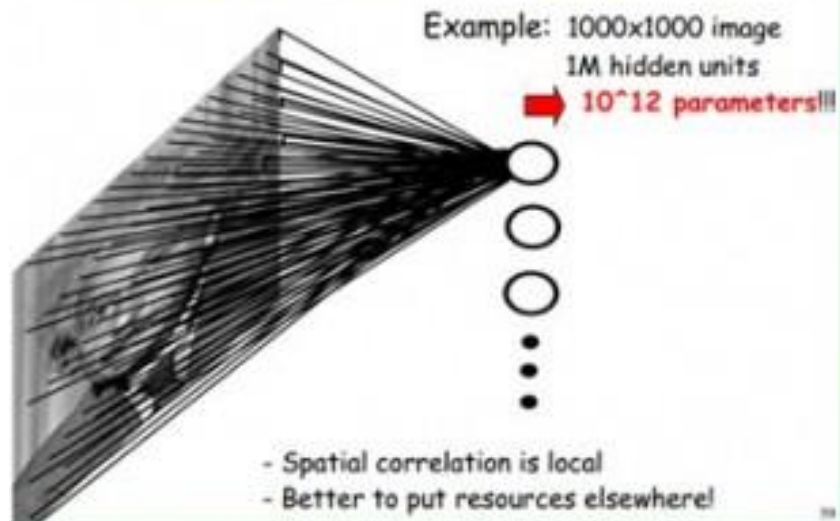
CNN基本网络：

- 输入层、卷积层、激活层、池化层、全连接层

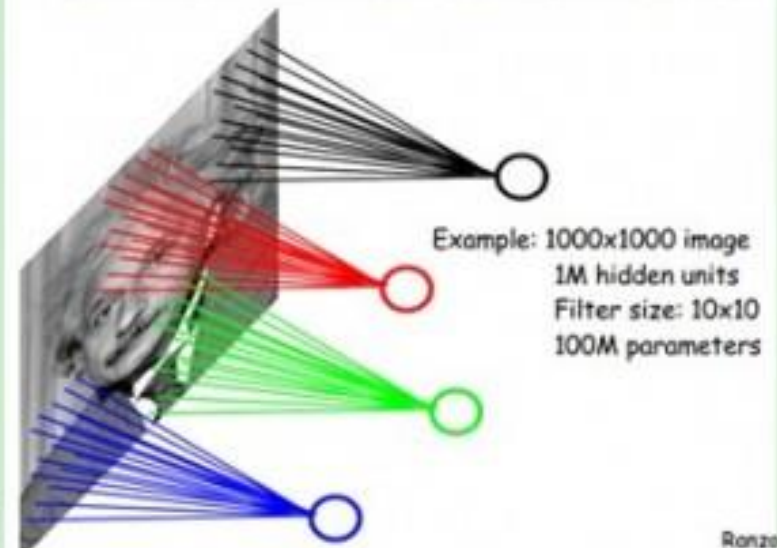


CNN—全连接与局部连接

FULLY CONNECTED NEURAL NET



LOCALLY CONNECTED NEURAL NET

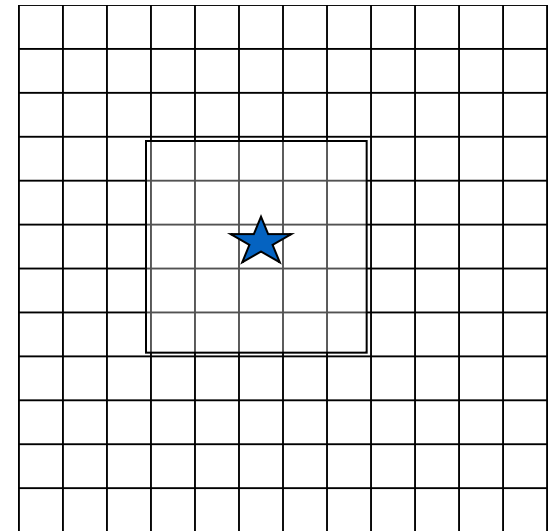


卷积运算

- 图像（二维数字信号的卷积运算）

$$G(x, y) * I(x, y) = \sum_{u=-M}^M \sum_{v=-N}^N G(u, v) I(x - u, y - v)$$

- 尺寸为 $(2M+1) \times (2N+1)$ 的模版
- 是对连续卷积核函数的数字采样近似



CNN—全连接与局部连接

| | | | | |
|-----------------|-----------------|-----------------|---|---|
| 1 _{x1} | 1 _{x0} | 1 _{x1} | 0 | 0 |
| 0 _{x0} | 1 _{x1} | 1 _{x0} | 1 | 0 |
| 0 _{x1} | 0 _{x0} | 1 _{x1} | 1 | 1 |
| 0 | 0 | 1 | 1 | 0 |
| 0 | 1 | 1 | 0 | 0 |

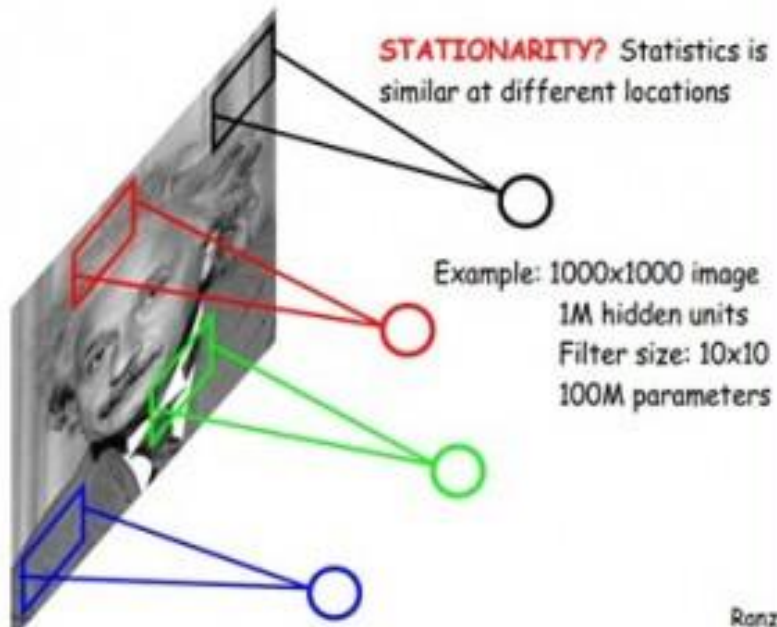
Image

| | | |
|---|--|--|
| 4 | | |
| | | |
| | | |

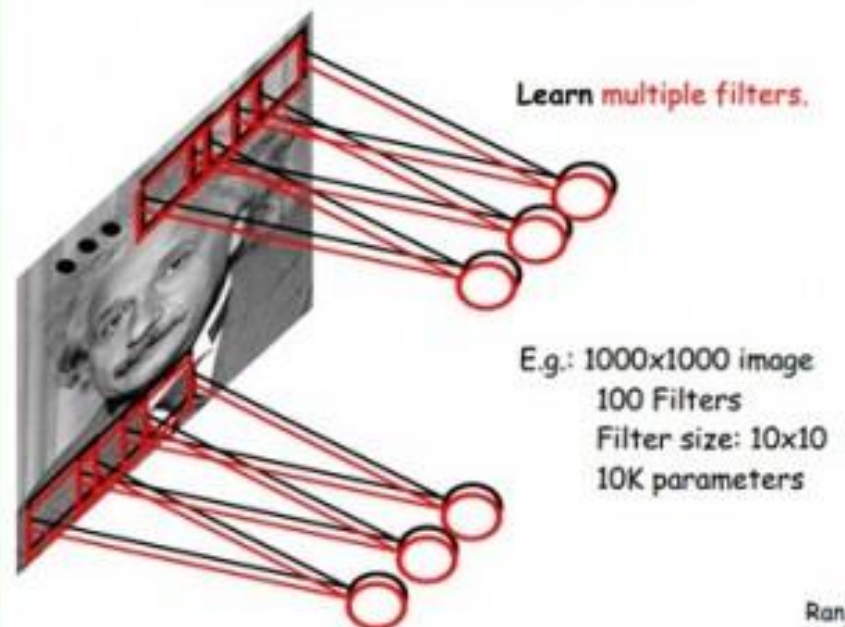
Convolved
Feature

CNN—权值共享与多核卷积

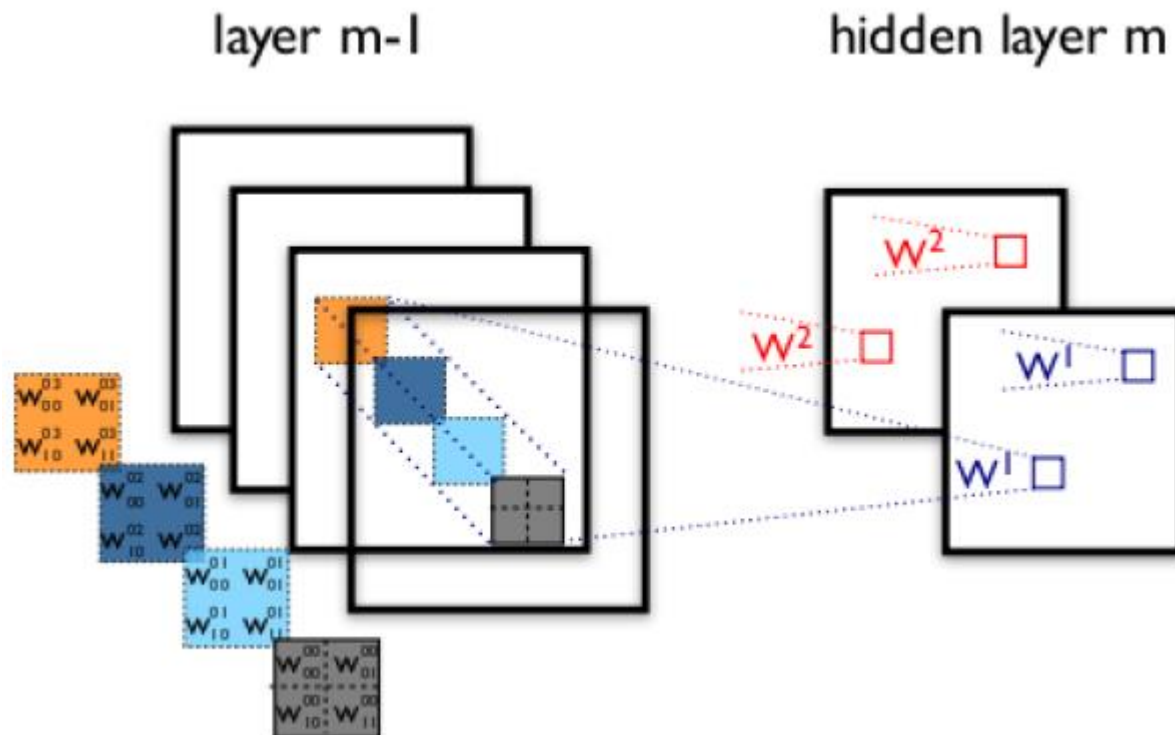
LOCALLY CONNECTED NEURAL NET



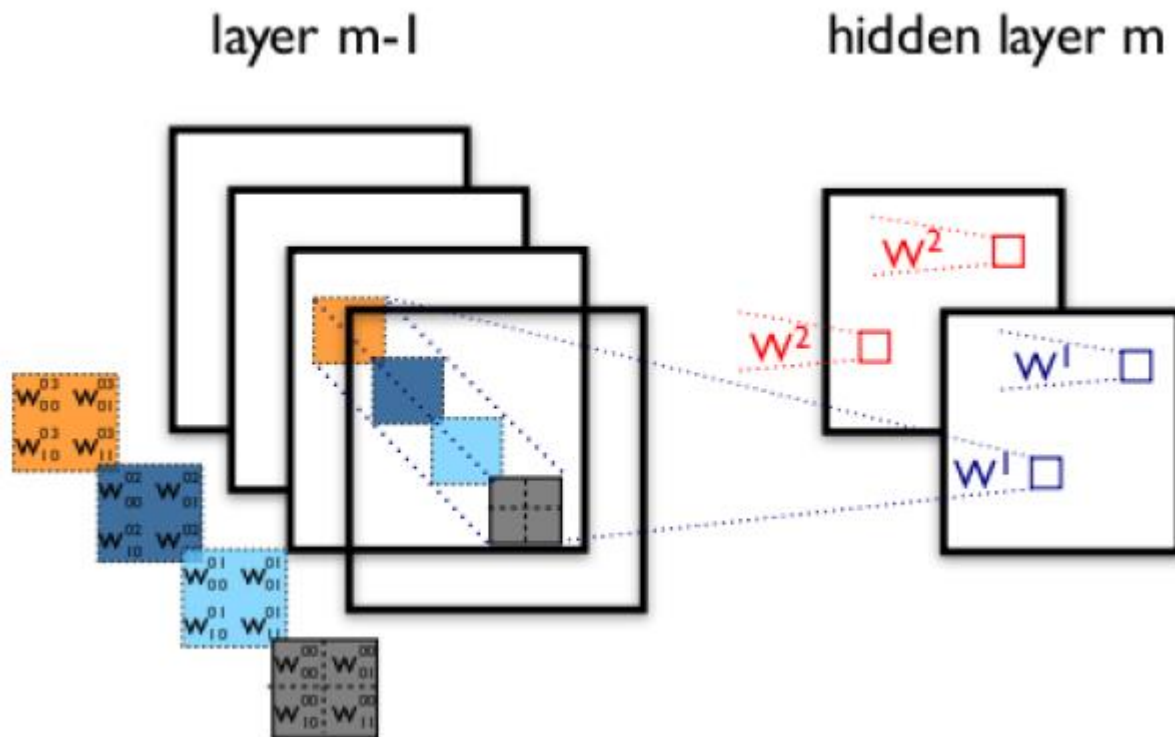
CONVOLUTIONAL NET



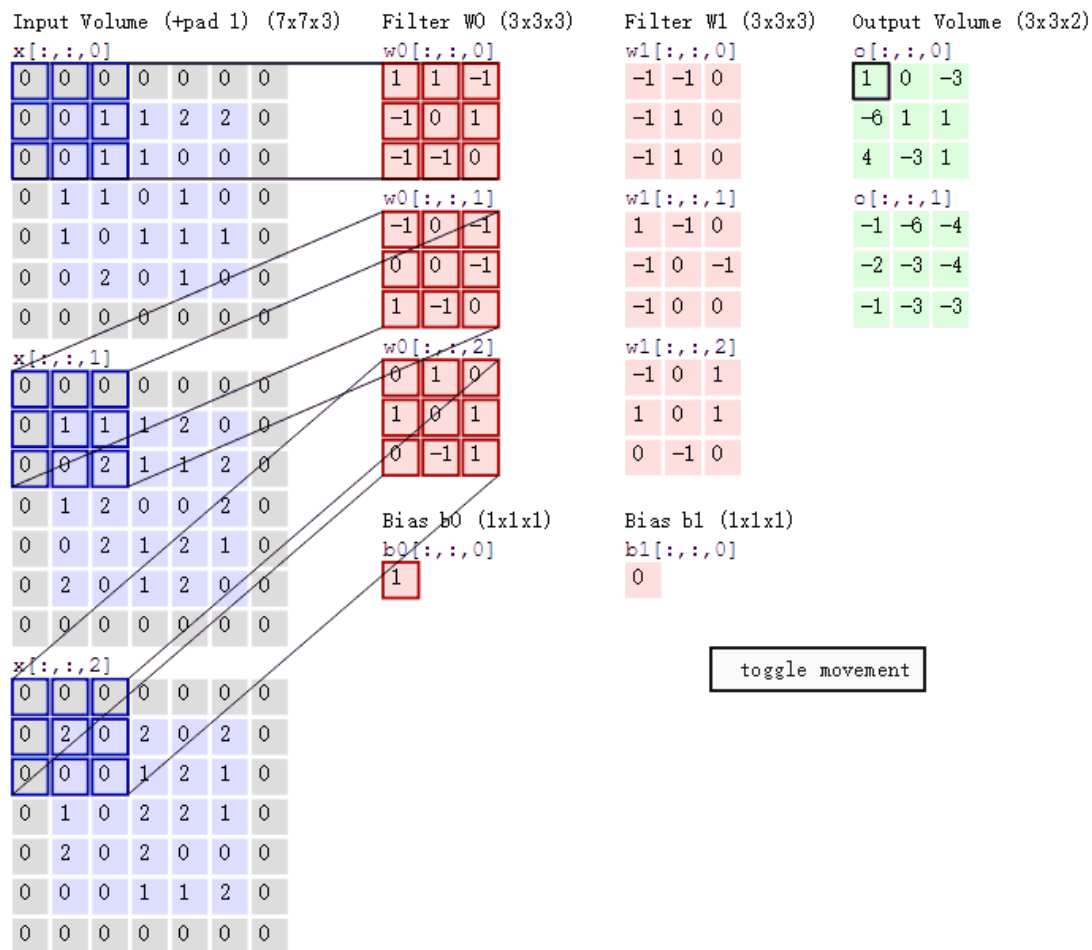
CNN—多核卷积



CNN—多核卷积



CNN—多核卷积

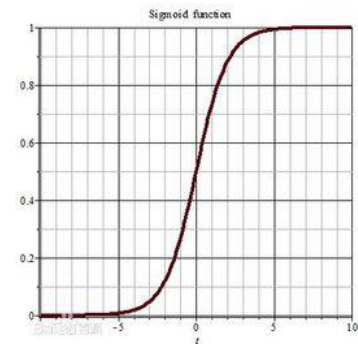


CNN中常用的激活函数

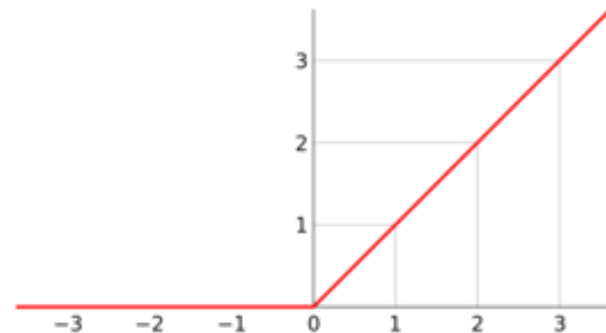
CNN中常用的激活函数

- Sigmoid函数
- Tanh函数
- ELU
- Maxout
- ReLU (Rectified Linear Unit)
- Leaky ReLU

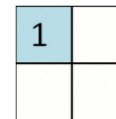
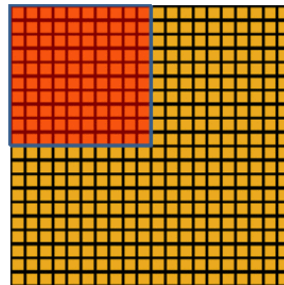
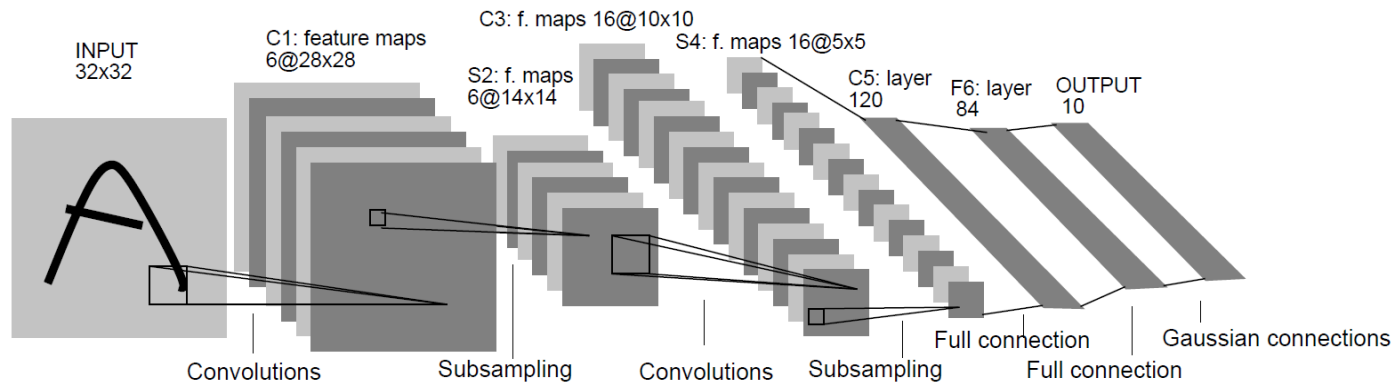
$$S(x) = \frac{1}{1 + e^{-x}}$$



$$f(x) = \max(0, x),$$



CNN—Pooling (池化)

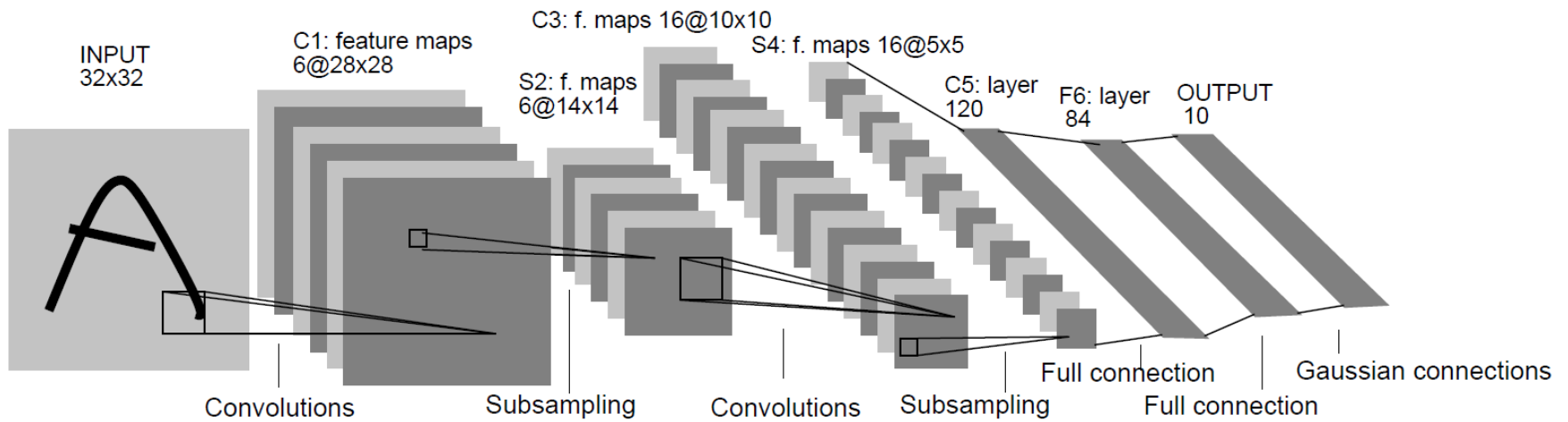


Convolved
feature

Pooled
feature

池化主要作用：特征降维、避免过拟合

CNN再回顾



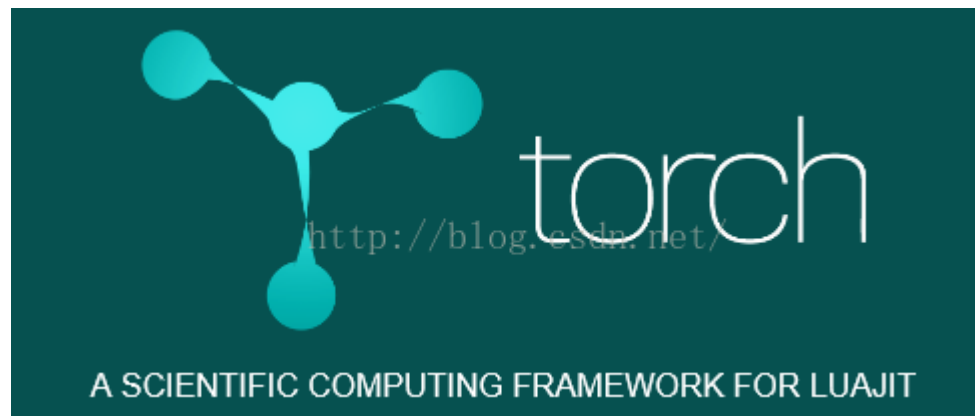
开发平台

- **Caffe:**

- 开发者: Berkeley Vision and Learning Center
- 底层语言: C++
- 接口语言: 命令行, Python, Matlab
- 运行方式: CPU or GPU
- 操作系统: Windows or Linux

开发平台

- Torch
 - 开发者: Facebook
 - 底层语言: 脚本语言LuaJit, 底层C/CUDA
 - 接口语言: Lua语言
 - 运行方式: CPU or GPU
 - 操作系统: Windows or Linux



开发平台

- TensorFlow

- 开发者: Google Brain Team
- 底层语言: C++ Python
- 接口语言: Python C/C++
- 运行方式: CPU or GPU
- 操作系统: Linux or Mac OS X



开发平台

- MXNet
 - 开发者：分布式（深度）机器学习社区
 - 底层语言：C++
 - 接口语言：C++ Python Julia Matlab JavaScript R Scala
 - 运行方式：CPU or GPU
 - 操作系统：Linux OS X Windows

dmlc
<http://blog.csdn.net/>
mxnet

提纲

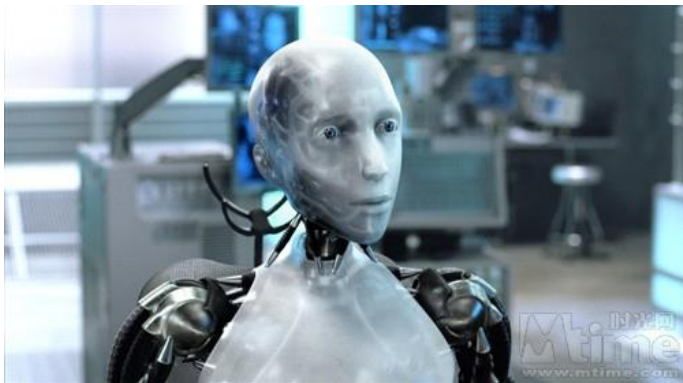
1

深度学习与卷积神经网络

2

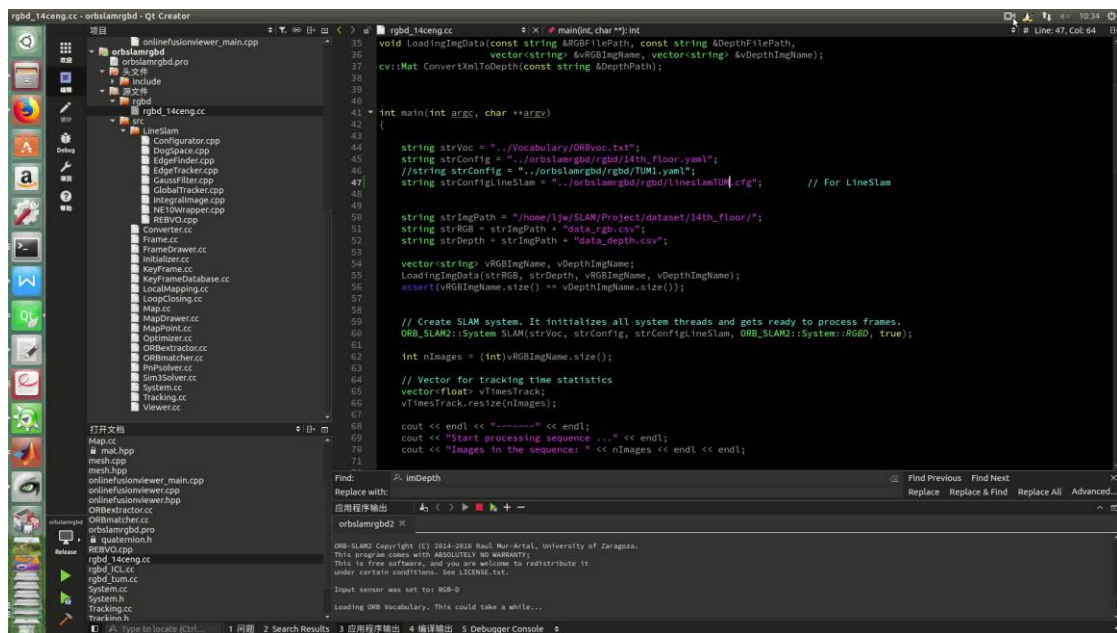
图像底层特征提取

计算机的“眼睛”在哪？

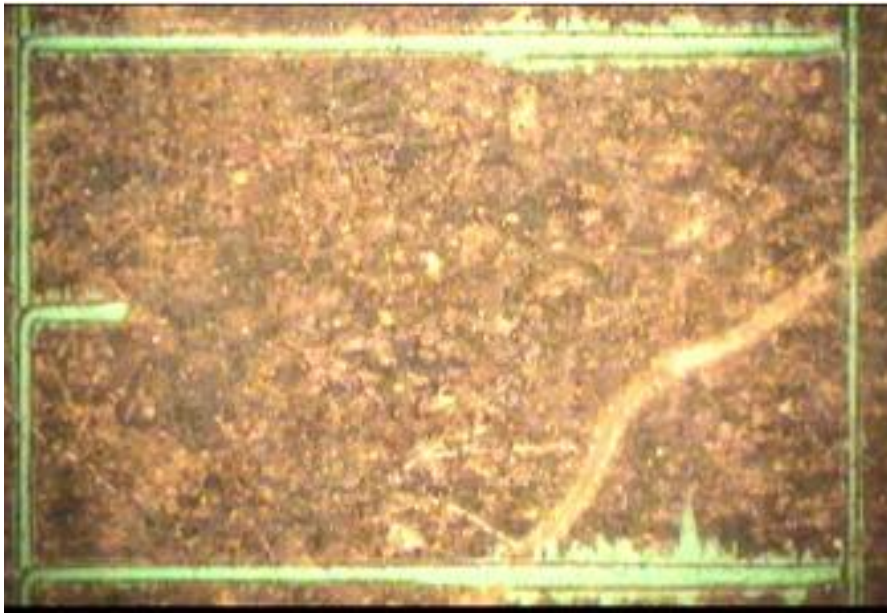


特征提取是计算机视觉的基本步骤

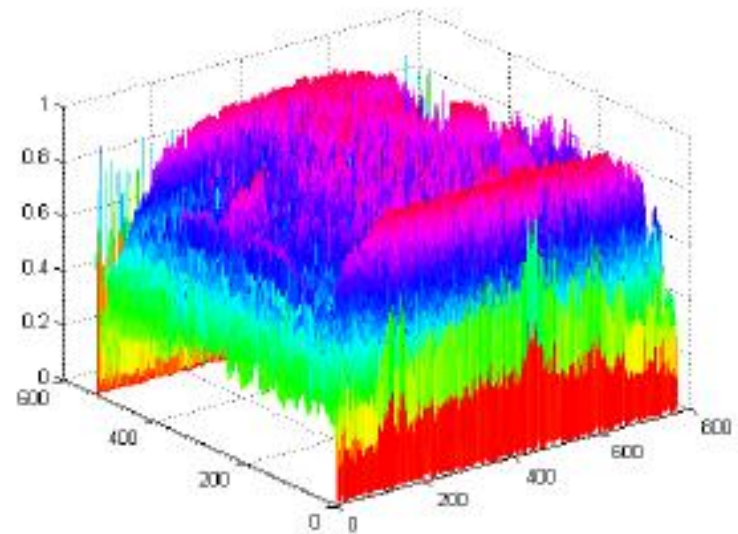
- **边缘和轮廓能反映图像内容；**
- **如果能对边缘和关键点可靠提取的话，很多视觉问题就基本上得到了解决**



灰度图像



真实的图像



图像数据的表示

灰度值范围：0~255

边缘的物理意义

图像边缘的产生


- 物体的边界、表面方向的变化、不同的颜色、光照明暗的变化




边缘提取



边缘的定义 (WHAT)



提取边缘的意义 (WHY)



提取边缘的方法 (HOW)

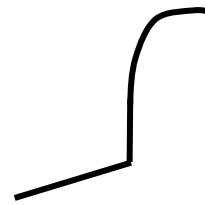
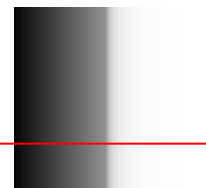
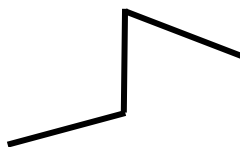
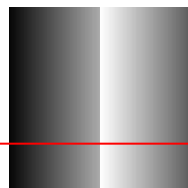
- 使用微分滤波器提取边缘
 - 一阶微分滤波器：梯度算子
 - 二阶微分滤波器：LoG
- Canny算子

边缘的定义

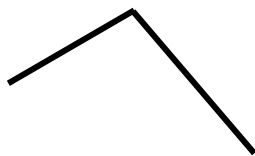
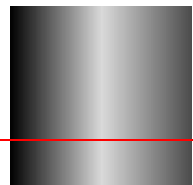
定义：

- “边缘是图像中亮度突然变化的区域。”
- “图像灰度构成的曲面上的陡峭区域。”
- “像素灰度存在阶跃变化或屋脊状变化的像素的集合。”

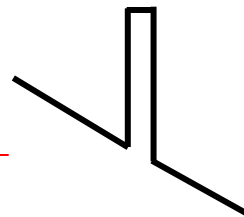
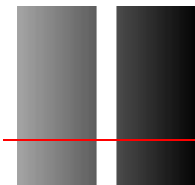
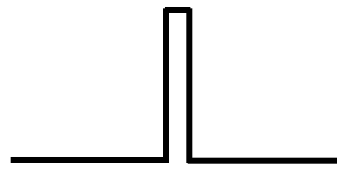
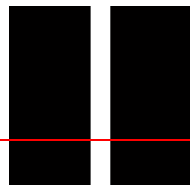
灰度图像中边缘的类型



阶梯状边缘



屋脊状边缘



线条状边缘

为什么要提取边缘？

边缘是最基本的图像特征之一：

- 可以表达物体的特征
- 边缘特征对于图像的变化不敏感
 - 几何变化，灰度变化，光照方向变化
- 可以为物体检测提供有用的信息
- 是一种典型的图像预处理过程



如何提取边缘？（灰度图象）

灰度图象边缘提取思路：

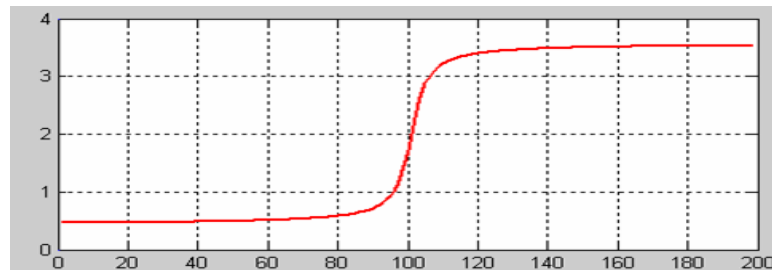
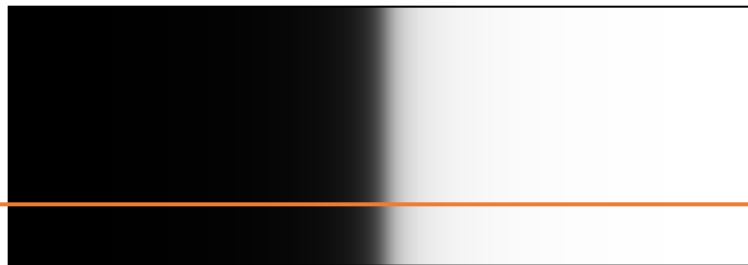
- 抑制噪声（低通滤波、平滑、去噪、模糊）
- 边缘特征增强（高通滤波、锐化）
- 边缘定位



图像微分算子

- 一阶微分算子（梯度算子）：Prewitt、Sobel等
 - 检测最大值
- 二阶微分算子：Laplacian
 - 检测过零点

微分算子检测边缘：一维信号

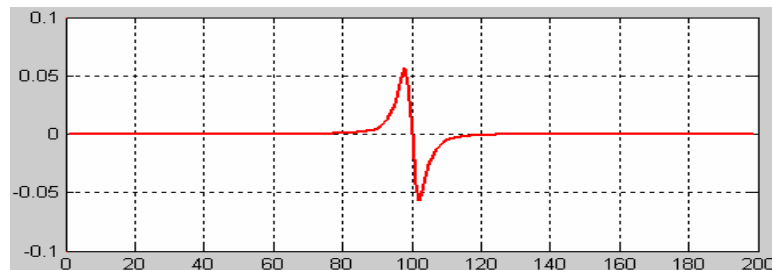
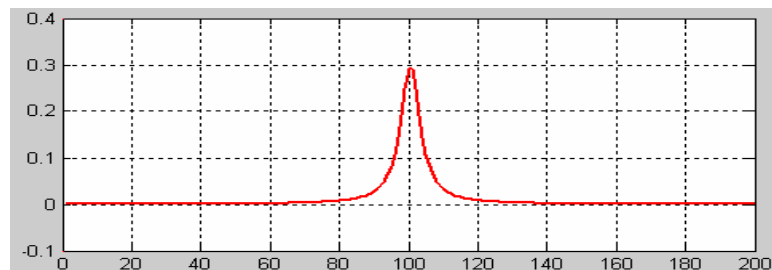


一阶导数的极大值点：

$$\text{Edge} = \{x | x = \text{argmax}(f'(x))\}$$

二阶导数的过零点：

$$\text{Edge} = \{x | f''(x) = 0, \text{zero crossing}\}$$



微分算子检测边缘：二维信号

一阶导数的极大值点：

$$\text{Edge} = \{p = (x, y) | p = \operatorname{argmax}(|\nabla I(p)|)\}$$

其中，图像梯度向量： $\nabla I(x, y) = (\frac{\partial I}{\partial x}, \frac{\partial I}{\partial y})$

梯度幅值表示边缘的强弱

梯度方向代表灰度变化最快的方向

$$|\nabla I(x, y)| = \sqrt{(\frac{\partial I}{\partial x})^2 + (\frac{\partial I}{\partial y})^2}$$

$$\Psi(x, y) = \arctan(\frac{\partial I}{\partial y} / \frac{\partial I}{\partial x})$$

微分算子检测边缘：二维信号

二阶导数的过零点：

$$\text{Edge} = \{p = (x, y) | \Delta I(p) = 0, \text{zero crossing}\}$$

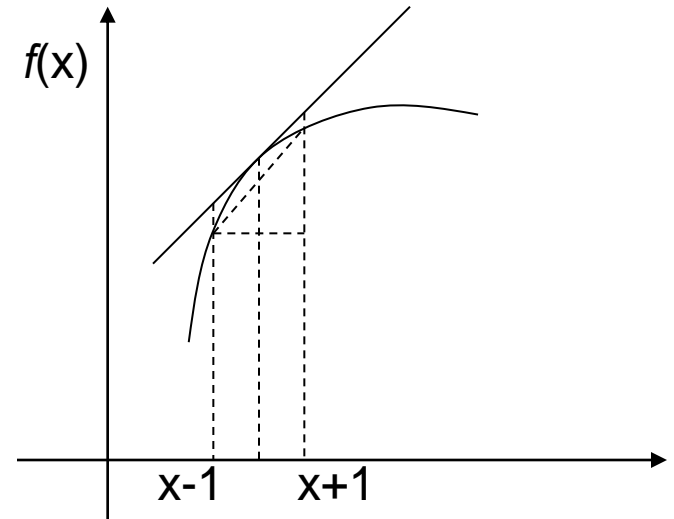
拉普拉斯算子：

$$\Delta I = \nabla^2 I = \frac{\partial^2 I}{\partial x^2} + \frac{\partial^2 I}{\partial y^2}$$

在数字图像上计算梯度

- 一维的情况:

$$f'(x) = \frac{df}{dx} = \lim_{\Delta x \rightarrow 0} \frac{f(x + \Delta x) - f(x)}{\Delta x}$$



对于离散的数字信号，可以使用差分近似：

$$f'(x) \approx \frac{f(x + 1) - f(x - 1)}{2}$$


相当于与如下模版进行卷积运算：

$$\begin{bmatrix} -1 & 0 & 1 \end{bmatrix} \times 0.5$$

在数字图像上计算梯度

- 使用差分运算在数值上近似一阶微分运算

$$\frac{\partial I}{\partial x} \approx \frac{f(x+1, y) - f(x-1, y)}{2}$$




| | | |
|----|---|---|
| -1 | 0 | 1 |
|----|---|---|

 $\times 0.5$

竖直边缘

$$\frac{\partial I}{\partial y} \approx \frac{f(x, y+1) - f(x, y-1)}{2}$$



| |
|----|
| -1 |
| 0 |
| 1 |

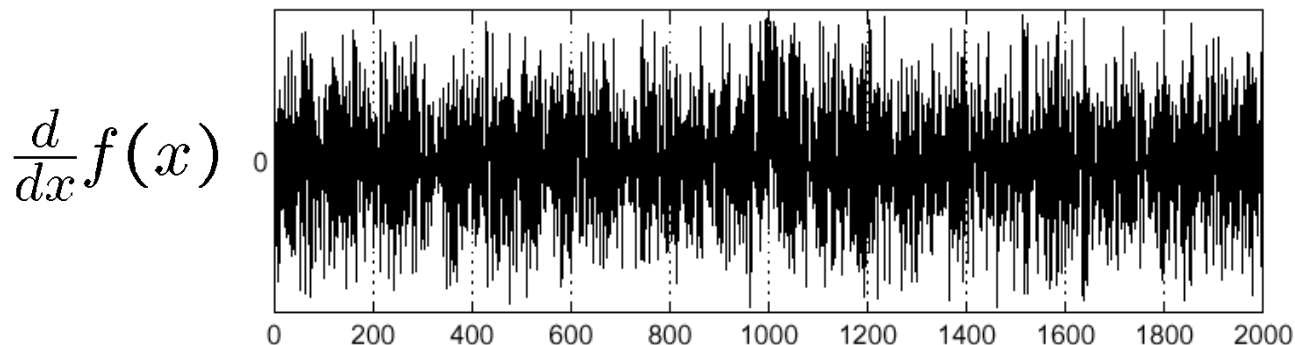
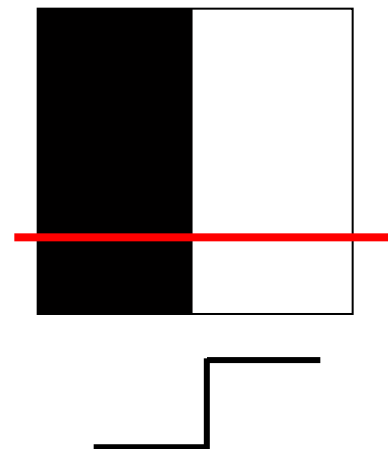
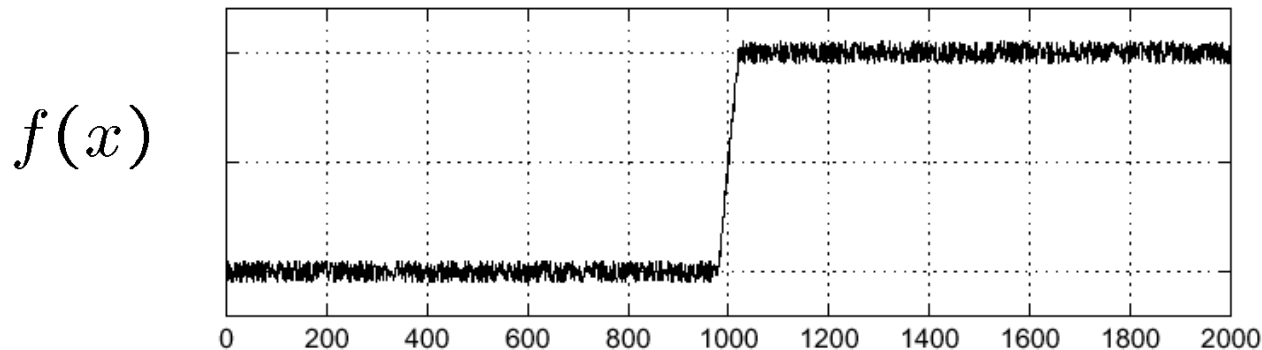
 $\times 0.5$

水平边缘

$$\nabla I(x, y) = \left(\frac{\partial I}{\partial x}, \frac{\partial I}{\partial y} \right)$$

噪声的影响：一维信号的例子

从图像中取出某行像素值：



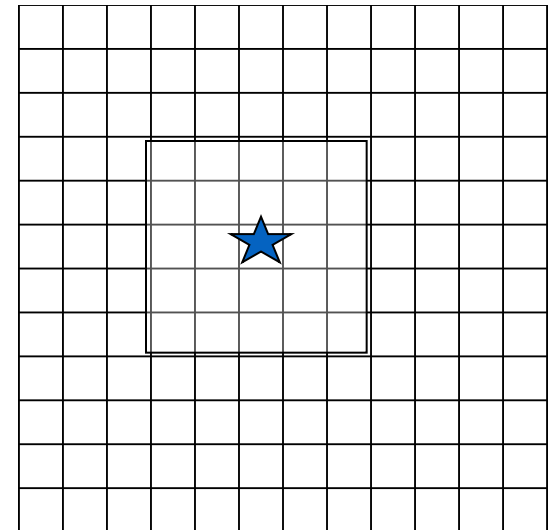
边缘在哪里？

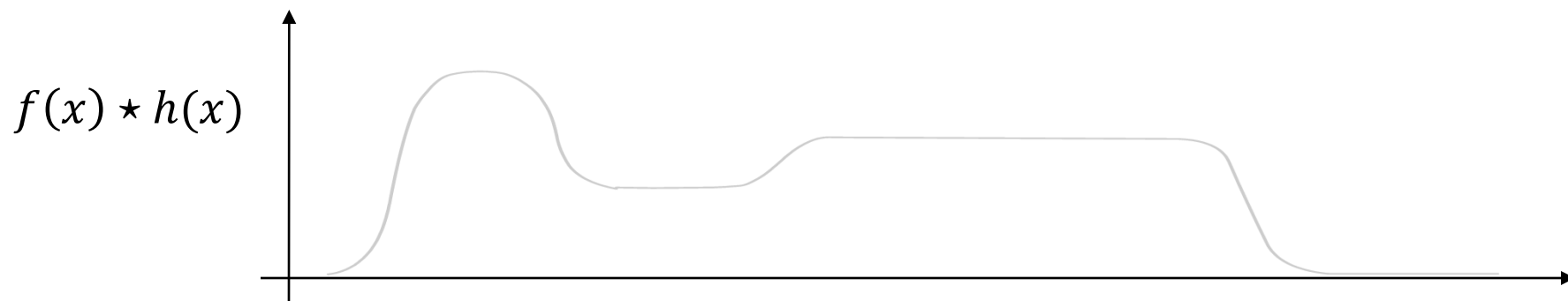
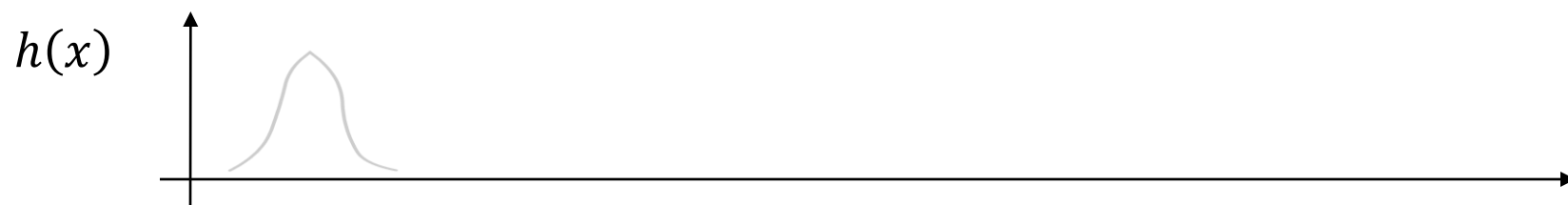
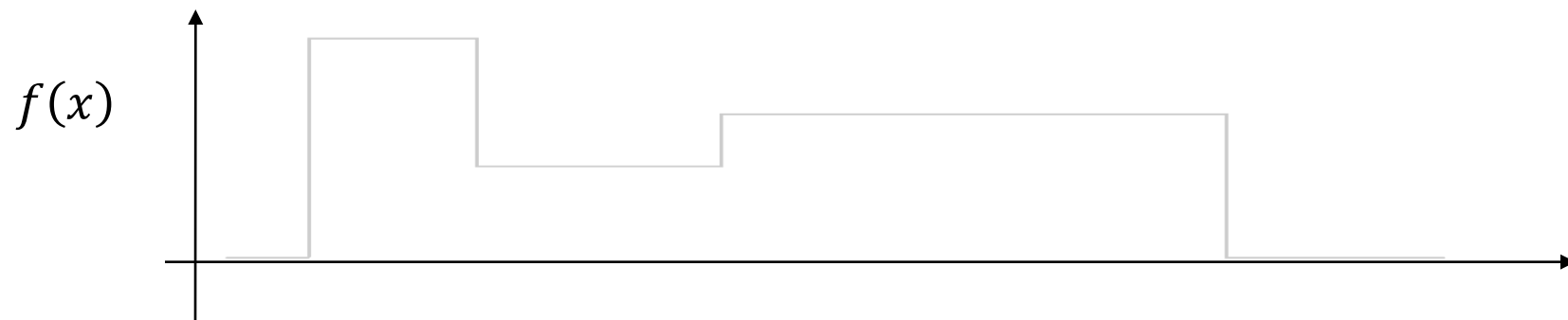
补充知识：卷积运算

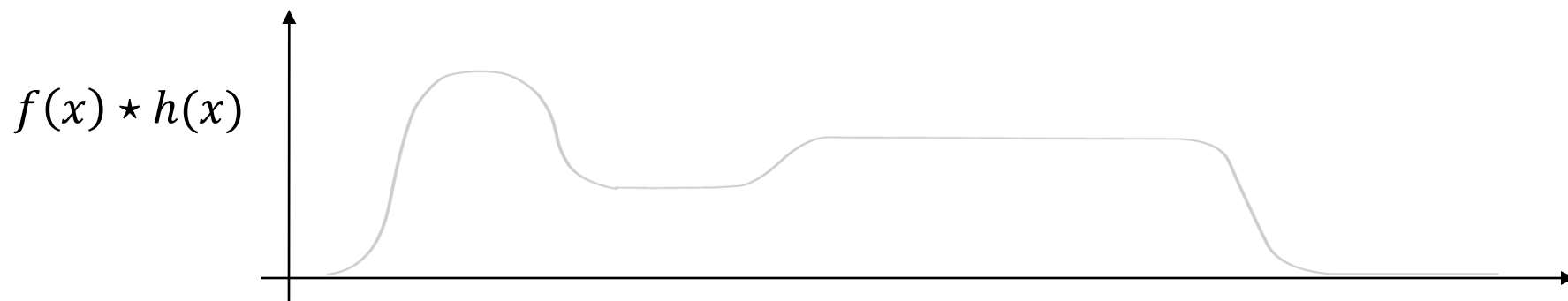
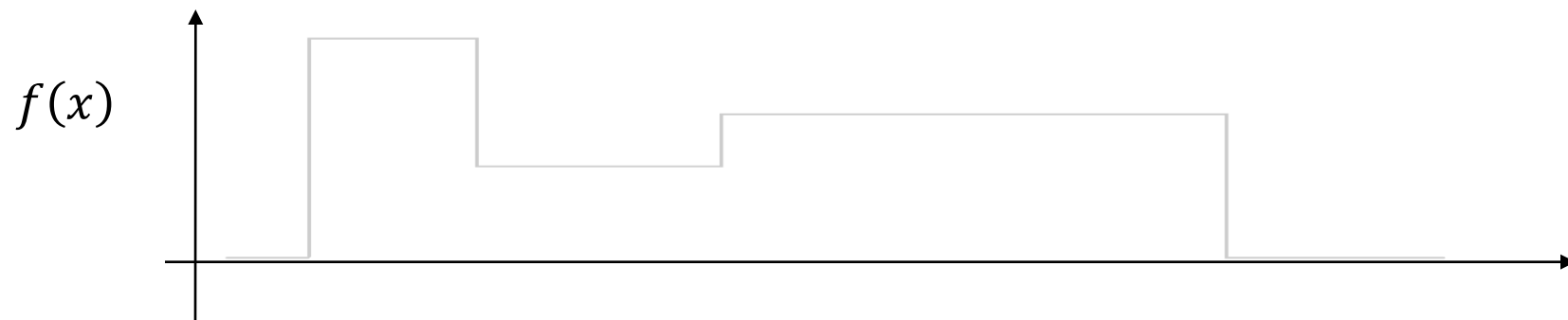
图像（二维数字信号的卷积运算）

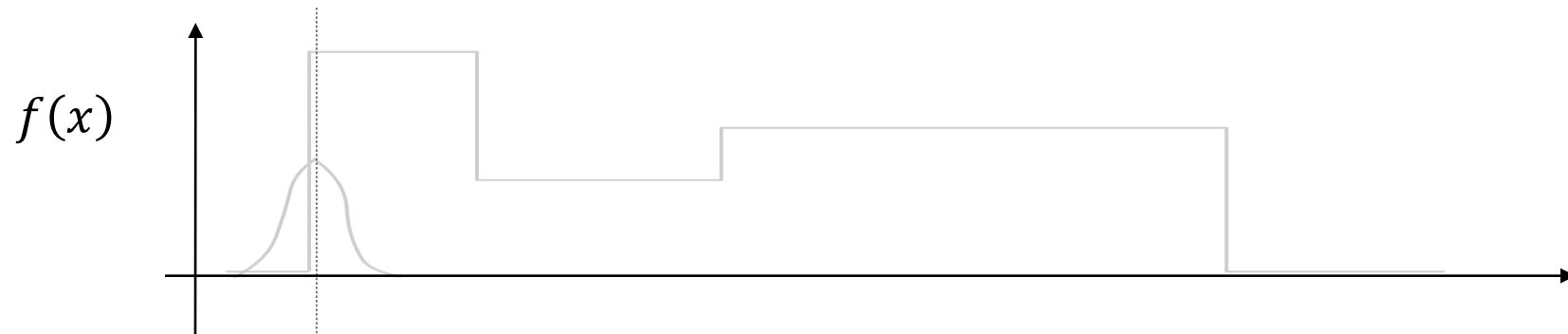
$$G(x, y) \star I(x, y) = \sum_{u=-M}^M \sum_{v=-N}^N G(u, v) I(x - u, y - v)$$

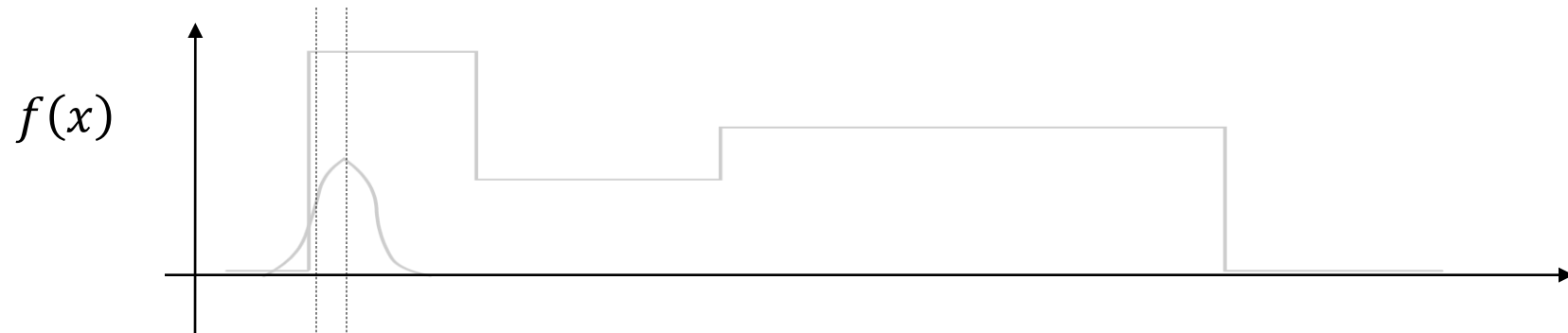
- 尺寸为 $(2M+1) \times (2N+1)$ 的模版
- 是对连续卷积核函数的数字采样近似
- 不同模版形式决定了卷积的不同功能——滤波、增强、匹配……

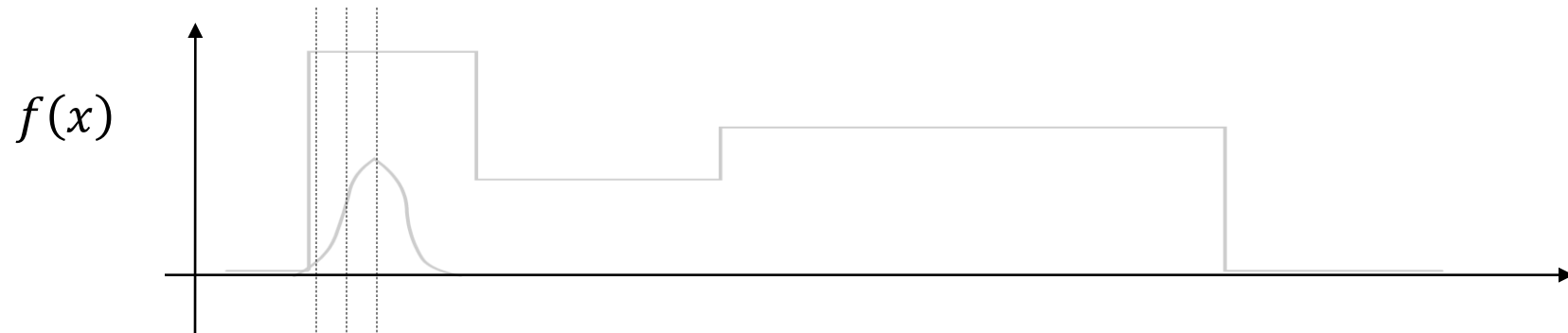


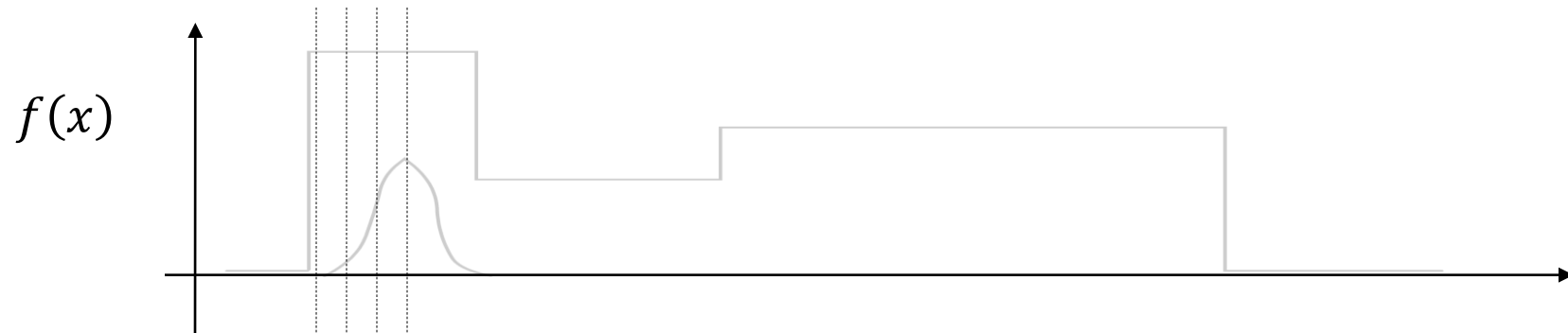


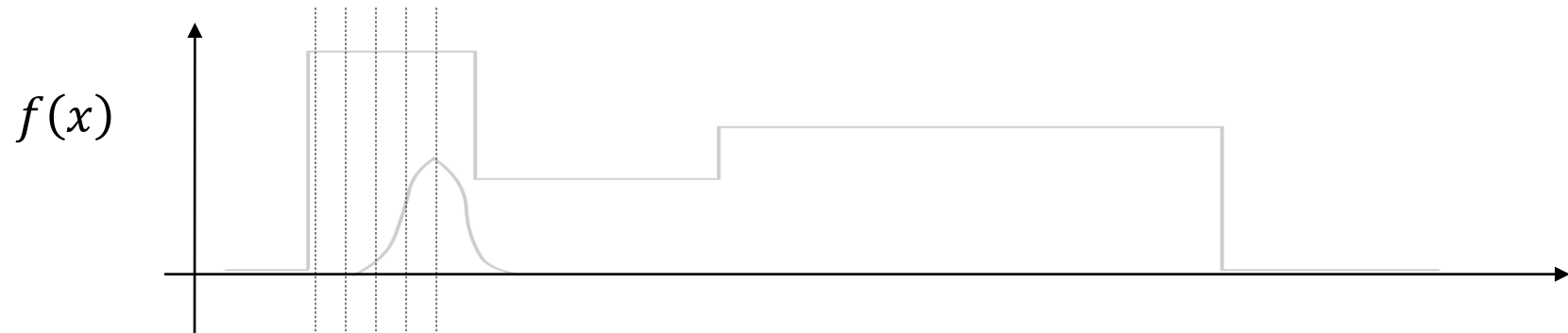


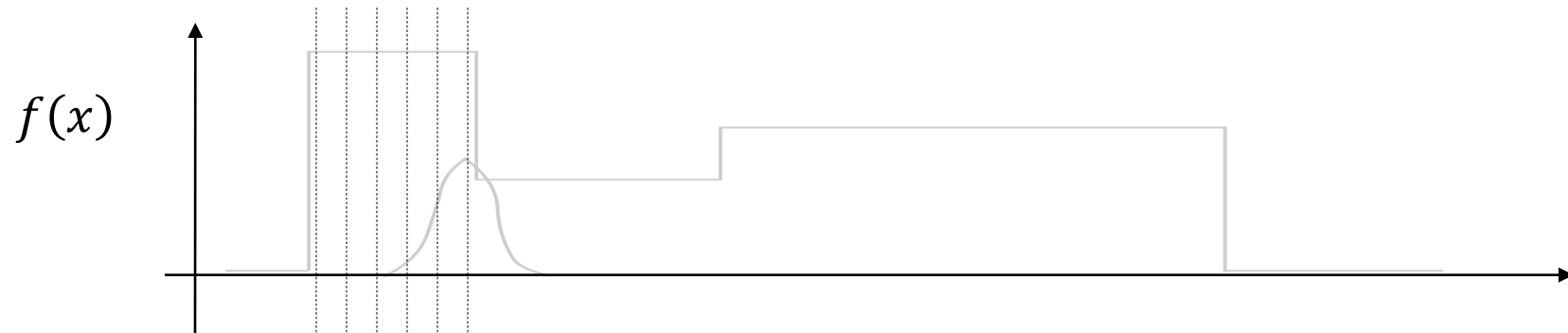


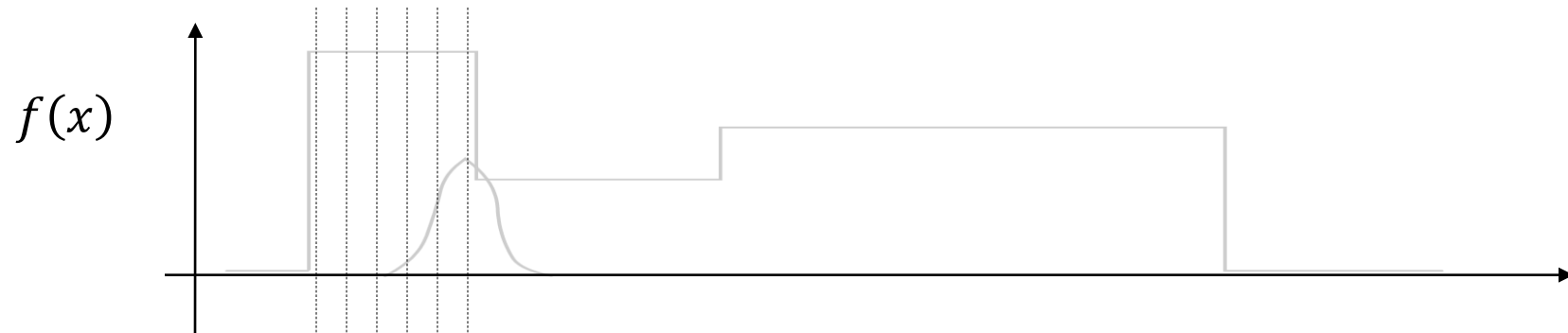




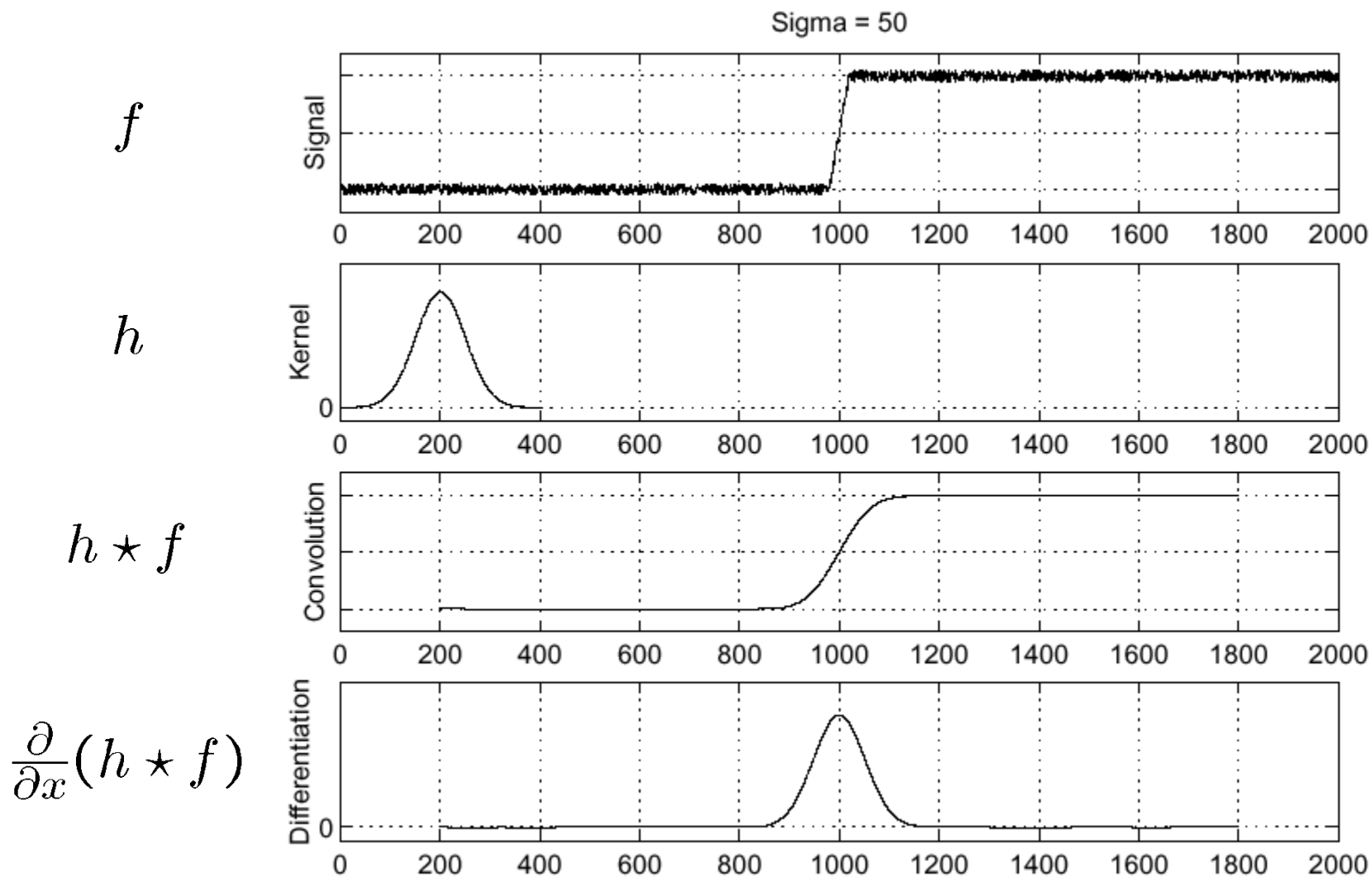








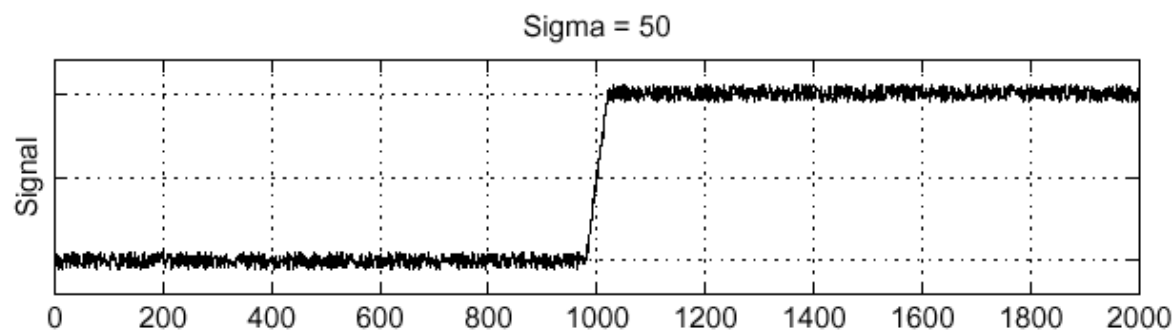
解决方法之一，首先进行滤波



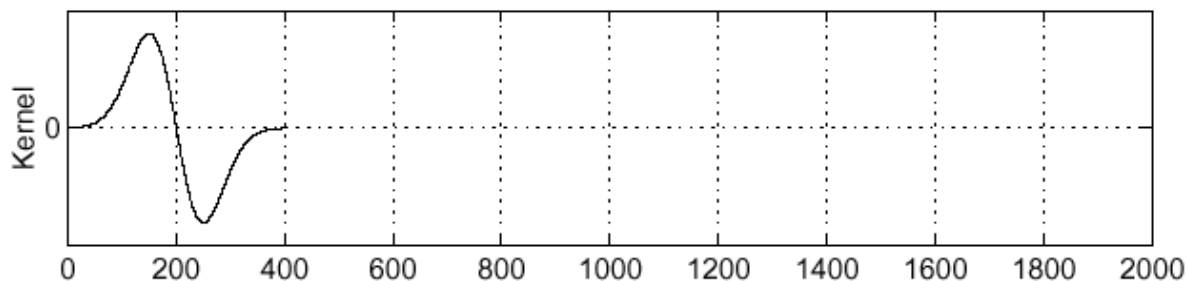
利用卷积运算的性质:

$$\frac{\partial}{\partial x}(h \star f) = (\frac{\partial}{\partial x}h) \star f$$

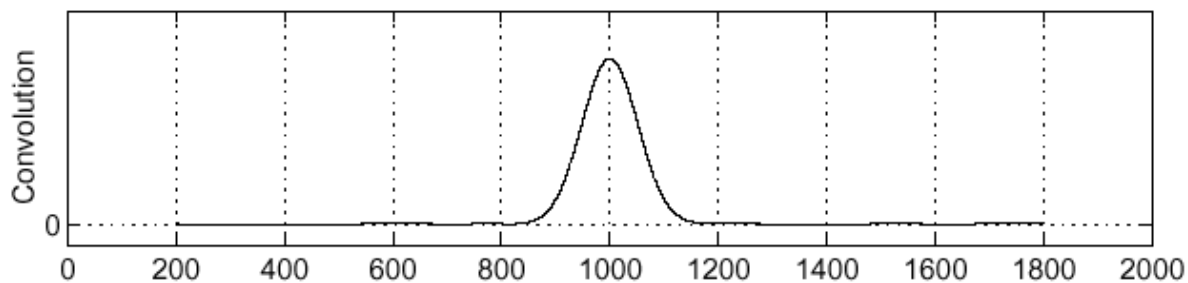
f



$\frac{\partial}{\partial x}h$



$(\frac{\partial}{\partial x}h) \star f$



图像梯度算子的近似

- Sober算子
- Prewitt算子
- Roberts算子

Prewitt算子

- Prewitt算子，近似一阶微分
- 卷积模版：去噪 + 增强边缘

| | | |
|----|---|---|
| -1 | 0 | 1 |
| -1 | 0 | 1 |
| -1 | 0 | 1 |

计算均值，
平滑噪声

检测竖直边缘

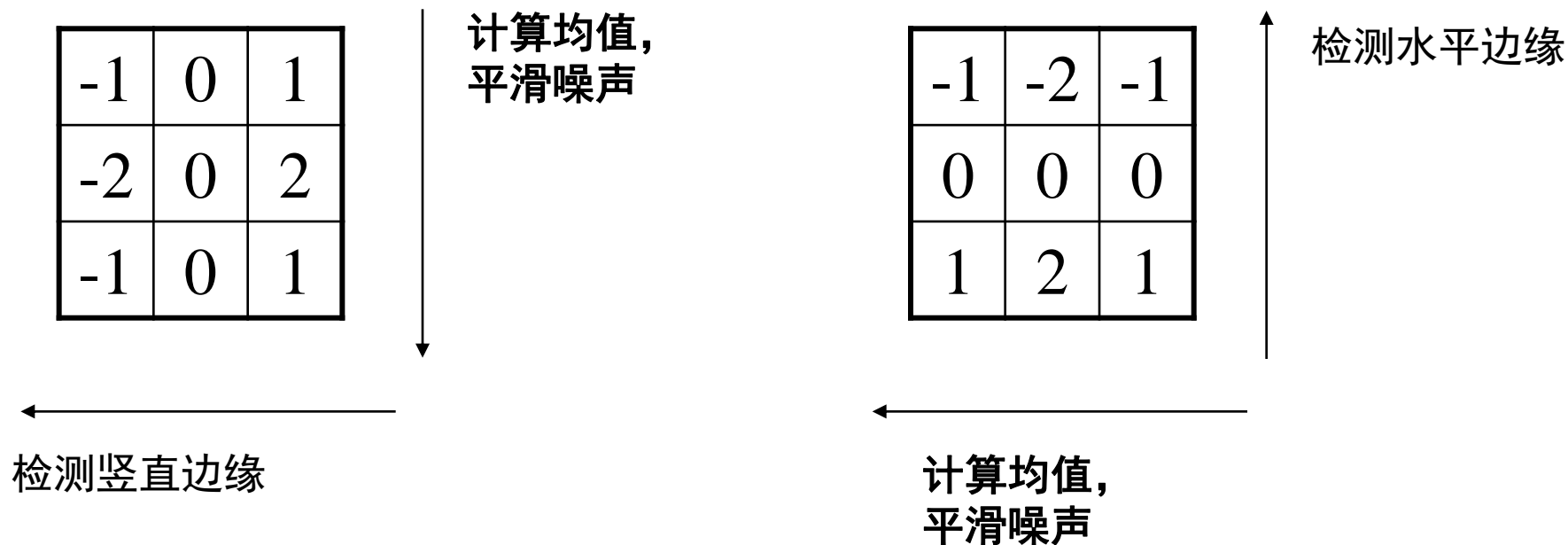
| | | |
|----|----|----|
| -1 | -1 | -1 |
| 0 | 0 | 0 |
| 1 | 1 | 1 |

检测水
平边缘

计算均值，
平滑噪声

Sobel 算子

- Sobel算子，近似一阶微分
- 去噪 + 增强边缘，给四邻域更大的权重



常见的梯度算子

$$\begin{array}{cc} \Delta_1 & \Delta_2 \\ \begin{array}{cc} 0 & 1 \\ -1 & 0 \end{array} & \begin{array}{cc} 1 & 0 \\ 0 & -1 \end{array} \end{array}$$

(a)

$$\begin{array}{cc} \Delta_1 & \Delta_2 \\ \begin{array}{ccc} -1 & 0 & 1 \\ -1 & 0 & 1 \\ -1 & 0 & 1 \end{array} & \begin{array}{ccc} 1 & 1 & 1 \\ 0 & 0 & 0 \\ -1 & -1 & -1 \end{array} \end{array}$$

(b)

$$\begin{array}{cc} \Delta_1 & \Delta_2 \\ \begin{array}{ccc} -1 & 0 & 1 \\ -2 & 0 & 2 \\ -1 & 0 & 1 \end{array} & \begin{array}{ccc} 1 & 2 & 1 \\ 0 & 0 & 0 \\ -1 & -2 & -1 \end{array} \end{array}$$

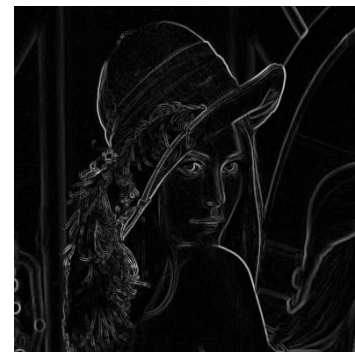
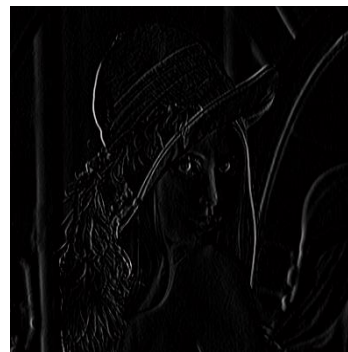
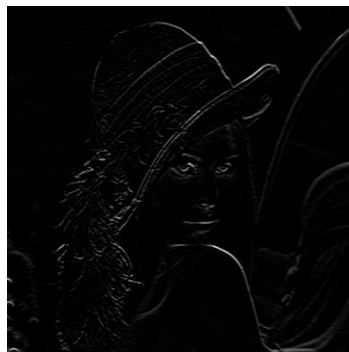
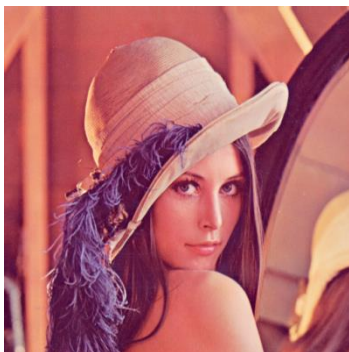
(c)

$$\begin{array}{cc} \Delta_1 & \Delta_2 \\ \begin{array}{cccc} -3 & -1 & 1 & 3 \\ -3 & -1 & 1 & 3 \\ -3 & -1 & 1 & 3 \\ -3 & -1 & 1 & 3 \end{array} & \begin{array}{cccc} 3 & 3 & 3 & 3 \\ 1 & 1 & 1 & 1 \\ -1 & -1 & -1 & -1 \\ -3 & -3 & -3 & -3 \end{array} \end{array}$$

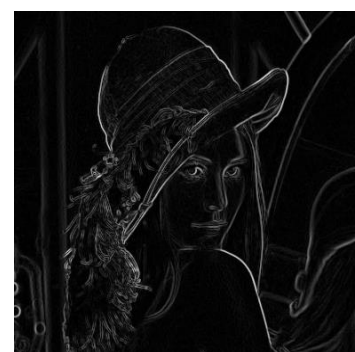
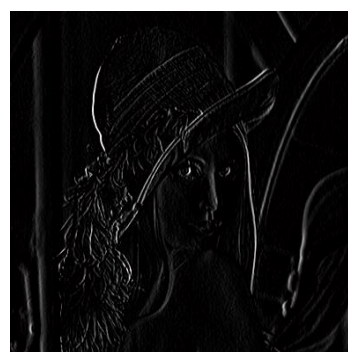
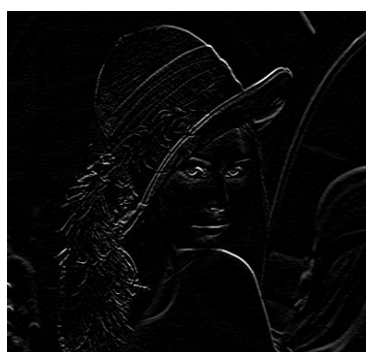
(d)

Sobel与Prewitt边缘提取示例

Prewitt



Sobel



在数字图像上计算二阶微分

- 拉普拉斯算子 $\Delta I = \nabla^2 I = \frac{\partial^2 I}{\partial x^2} + \frac{\partial^2 I}{\partial y^2}$

- 拉普拉斯算子的数字近似

- 3*3卷积模版

| | | |
|----|----|----|
| 0 | -1 | 0 |
| -1 | 4 | -1 |
| 0 | -1 | 0 |

| | | |
|----|----|----|
| -1 | -1 | -1 |
| -1 | 8 | -1 |
| -1 | -1 | -1 |

拉普拉斯算子的特点

- 拉普拉斯算子的运算结果是标量
 - 只有幅值，只使用一个模版便可计算得到
 - 方向属性丢失
- 实际中几乎不单独使用拉普拉斯算子：
 - 二次求导数，对噪声非常敏感
 - 通常配合滤波器同时使用

Laplacian of Gaussian (LoG)

- 首先用Gauss函数对图像进行平滑，抑制噪声
- 然后对经过平滑的图像使用Laplacian算子
- 利用卷积的性质LoG算子等效于：

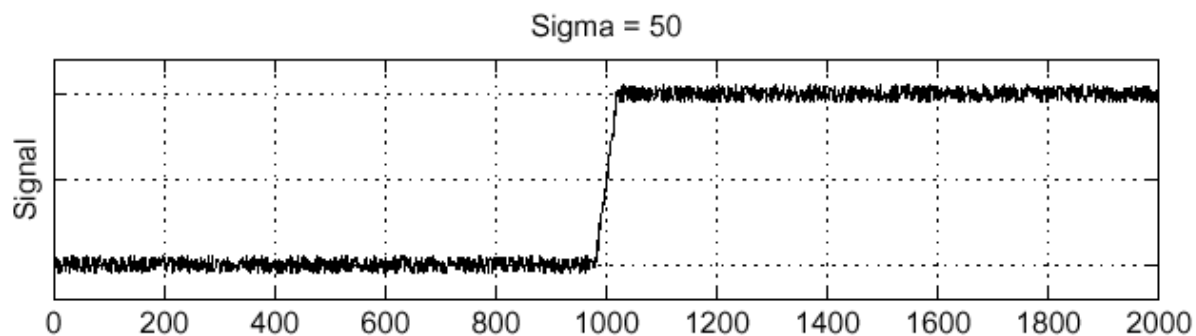
Gaussian平滑 + Laplacian 二阶微分

$$\nabla^2(G(x, y) \star I(x, y)) = (\nabla^2 G(x, y)) \star I(x, y)$$

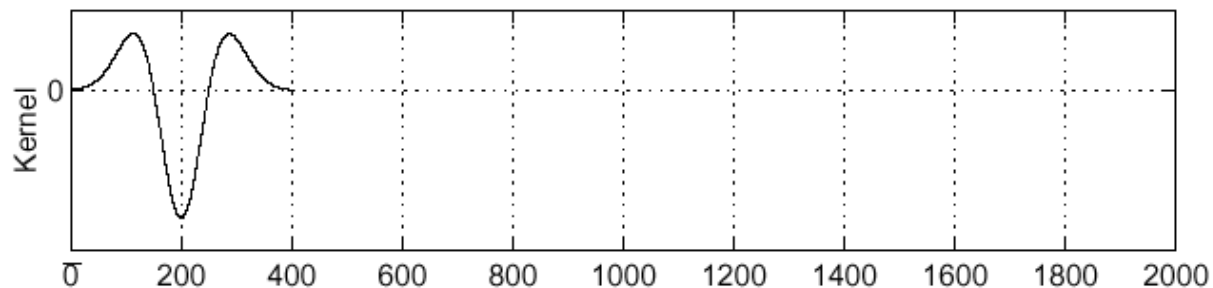
高斯拉普拉斯

$$\frac{\partial^2}{\partial x^2}(h \star f)$$

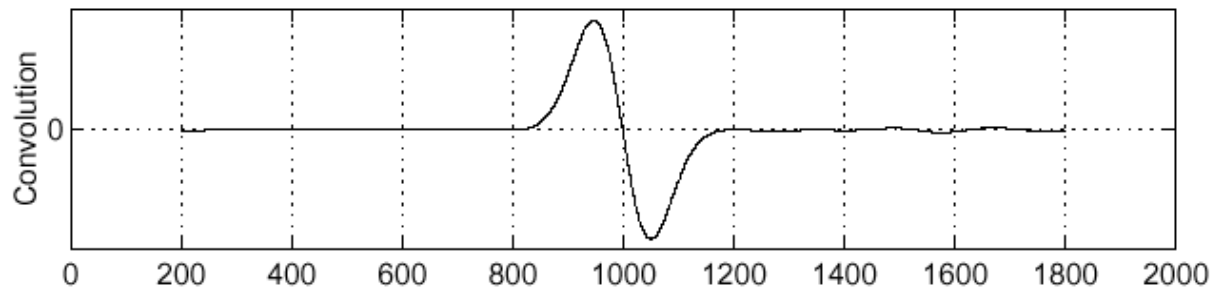
f



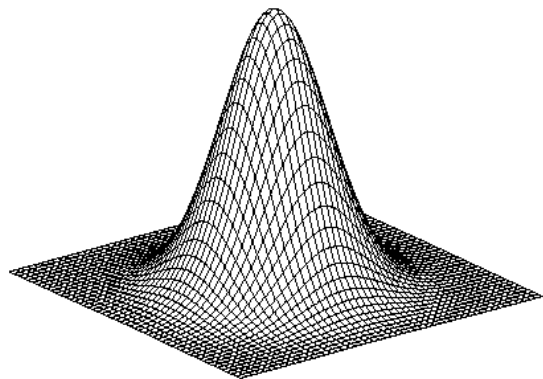
$$\frac{\partial^2}{\partial x^2}h$$



$$\left(\frac{\partial^2}{\partial x^2}h\right) \star f$$

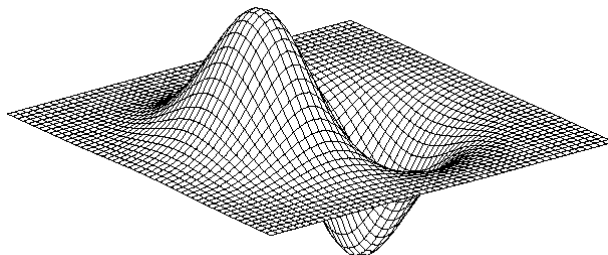


二维边缘微分滤波器



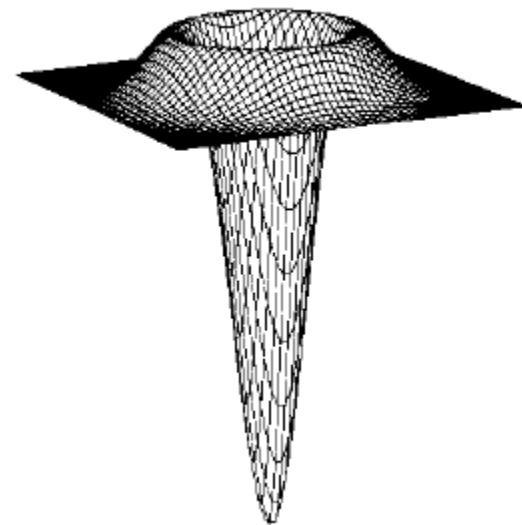
高斯

$$h_{\sigma}(u, v) = \frac{1}{2\pi\sigma^2} e^{-\frac{u^2+v^2}{2\sigma^2}}$$



高斯的导数

$$\frac{\partial}{\partial x} h_{\sigma}(u, v)$$



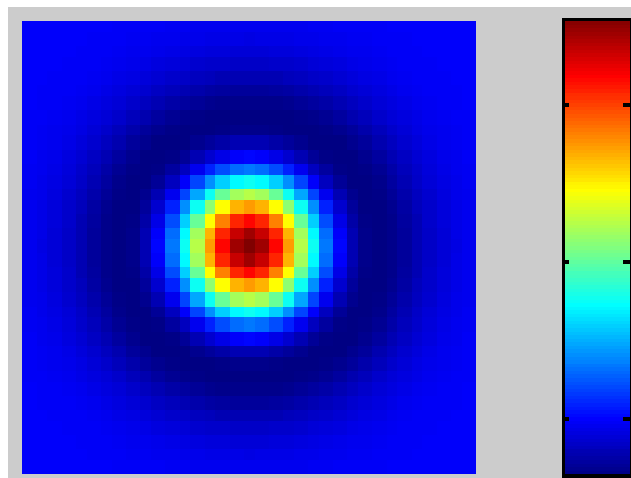
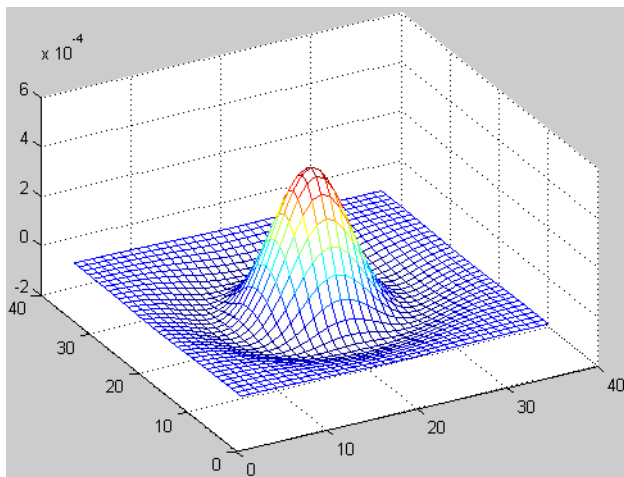
高斯拉普拉斯

$$\nabla^2 h_{\sigma}(u, v)$$

LoG算子:

$$\nabla^2 G(x, y) = - \left[\frac{x^2 + y^2 - \sigma^2}{\sigma^4} \right] e^{-\frac{x^2+y^2}{2\sigma^2}}$$

在数字图像上实现LoG



| | | | | |
|----|----|----|----|----|
| 0 | 0 | -1 | 0 | 0 |
| 0 | -1 | -2 | -1 | 0 |
| -1 | -2 | 16 | -2 | -1 |
| 0 | -1 | -2 | -1 | 0 |
| 0 | 0 | -1 | 0 | 0 |

- LoG 因其形状，也称为Mexican hat
- 求和为0，即对平坦图像区域的响应为0
- 一个近似的卷积模版：体现主要的形状

$$\iint \nabla^2 G(x, y) dx dy = 0$$

LoG: 例子



(a)



(b)



(c)

(a) Lenna Image

(b) Gaussian模版卷积 (15×15)

(c) Laplacian模版卷积 (3×3)

分两步实现LoG，可以提供
更大的灵活性更小的模版尺寸

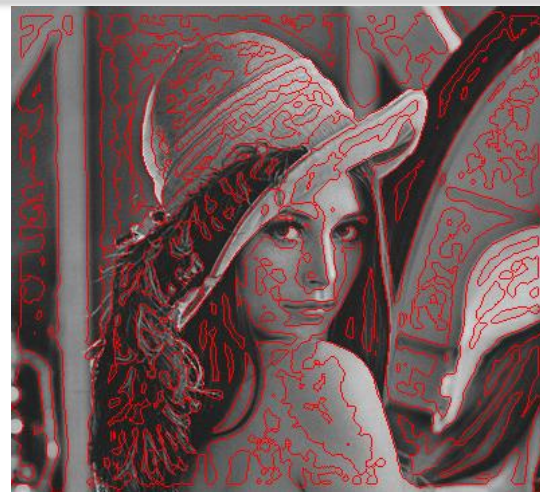
LoG: 例子



(d)



(e)



(f)

(d) 将(c)中大于0的像素置1，其余置0

(e) 在二值图像 (d) 上检测边缘，使用形态学膨胀方法

(f) 结果显示

几个特点：

(1) 正确检测到的边缘：单像素宽度，定位准确

(2) 形成许多封闭的轮廓（spaghetti，意大利面条），这是一个主要的问题

(3) 需要更加复杂的算法检测过零点

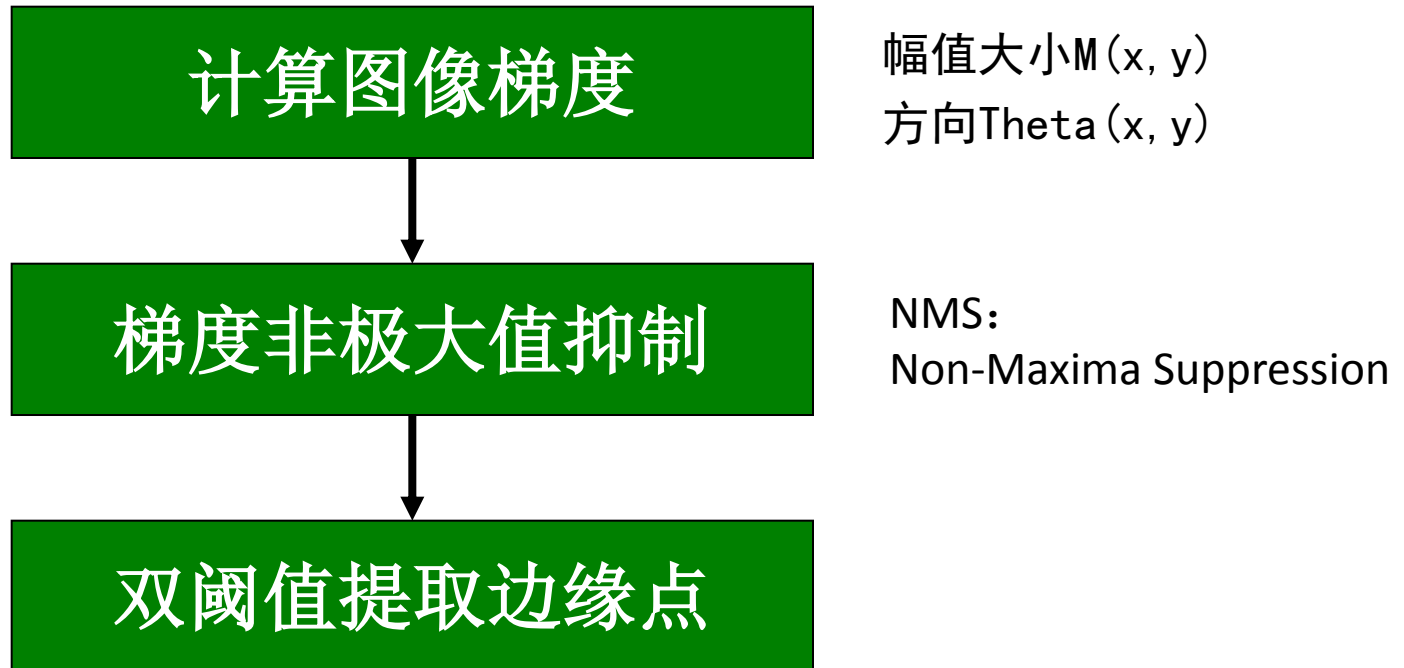
Canny边缘检测器

边缘检测最优准则

- 边缘检测最优准则：
 - 好的边缘检测性能：Good detection
对边缘的响应大于对噪声的响应
 - 好的定位性能：Good localization
其最大值应接近边缘的实际位置
 - 低的错误检测率：Low false positives
在边缘附近只有一个极值点

Canny边缘检测器

算法基本过程：



计算图像梯度：高斯函数的一阶导数

(1) 求图像与高斯平滑滤波器卷积:

$$S(x, y) = G(x, y, \sigma) * I(x, y)$$

σ 代表对图像的平滑程度

(2) 使用一阶有限差分计算偏导数的两个阵列:

$$D_x(x, y) \approx (S(x, y + 1) - S(x, y) + S(x + 1, y + 1) - S(x + 1, y))/2$$

$$D_y(x, y) \approx (S(x, y) - S(x + 1, y) + S(x, y + 1) - S(x + 1, y + 1))/2$$

相当于与模版进行卷积运算:

| | |
|----|---|
| -1 | 1 |
| -1 | 1 |

| | |
|----|----|
| 1 | 1 |
| -1 | -1 |

计算图像梯度：高斯函数的一阶导数

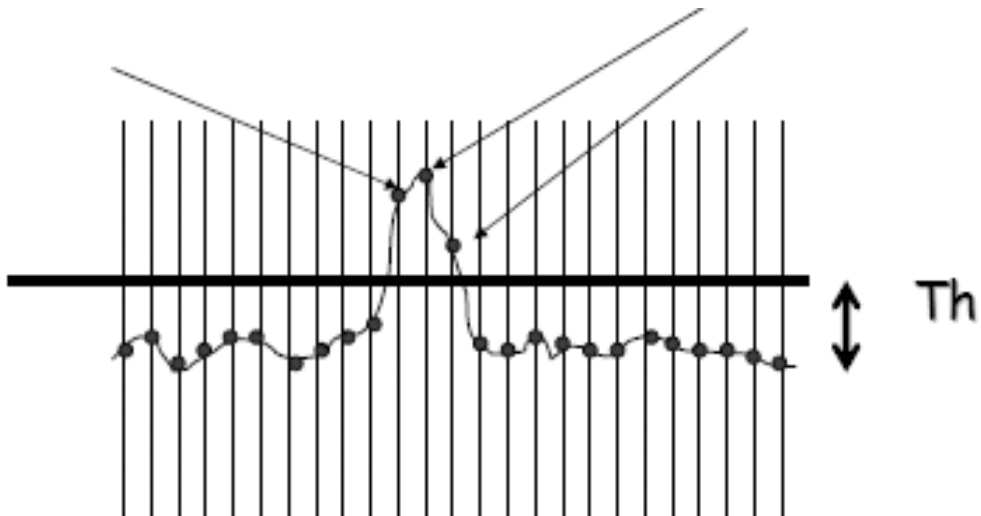
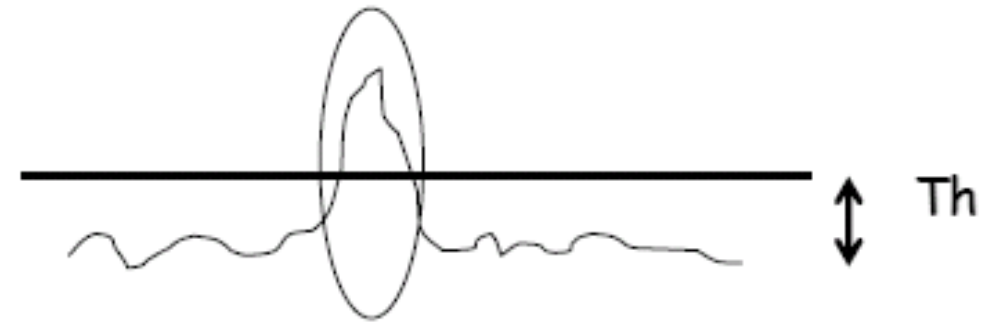
(3) 幅值和方位角:

$$M(x, y) = \sqrt{D_x(x, y)^2 + D_y(x, y)^2}$$

$$\theta(x, y) = \arctan(D_y(x, y)/D_x(x, y))$$

M 代表梯度幅值的大小，在存在边缘的图像位置处， M 的值变大，图像的边缘特征被“增强”。

如何检测边缘？



局部极值周围存在相近数值的点

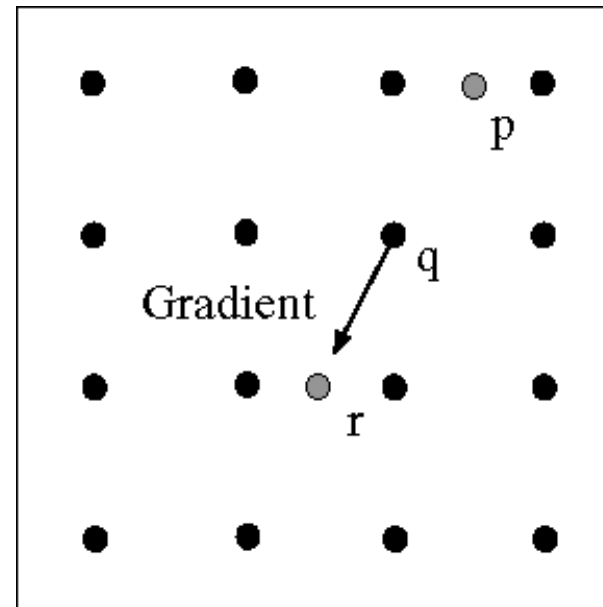
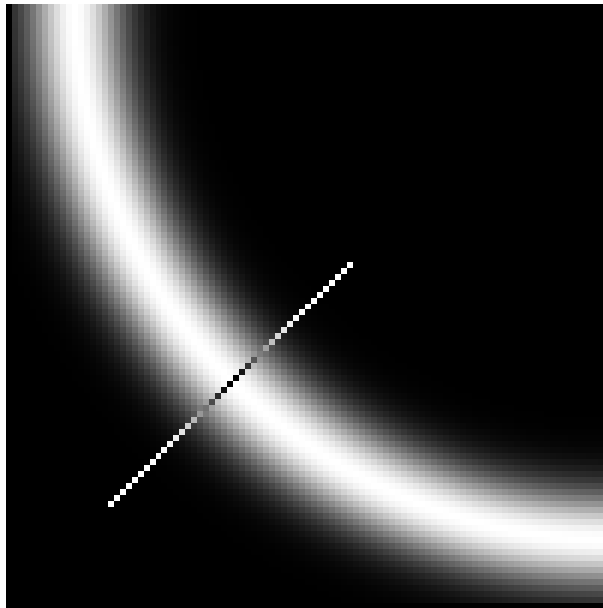
非极大值抑制 NMS

- 非极大值抑制 (NMS: Non-Maxima Suppression)
- 主要思想: 由梯度幅值图像 $M(x, y)$, 仅保留极大值。
(严格地说, 保留梯度方向上的极大值点。)

得到的结果为 $N(x, y)$, 具体过程:

- 初始化 $N(x, y) = M(x, y)$
- 对于每个点, 在梯度方向和反梯度方向各找 n 个像素点。
若 $M(x, y)$ 不是这些点中的最大点, 则将 $N(x, y)$ 置零, 否则保持 $N(x, y)$ 不变。
- $N(x, y)$ 单像素宽度:
 - 问题: 额外的边缘点, 丢失的边缘点

非极大值抑制 NMS



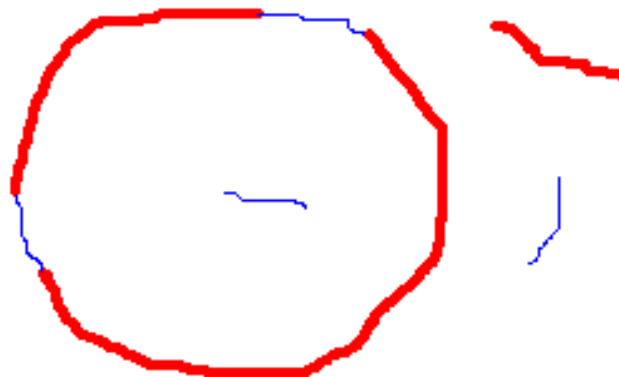
- 在梯度方向的沿线上检测该点是否为局部极大值
- 简化的情形，只使用4个方向：{0, 45, 90, 135}
- 得到的结果 $N(x, y)$ 包含边缘的宽度为1个像素

对NMS结果进行二值化

- 对上述得到的 $N(x, y)$ 使用阈值进行二值化
- 使用大的阈值，得到：
 - 少量的边缘点
 - 许多空隙
- 使用小的阈值，得到：
 - 大量的边缘点
 - 大量的错误检测

使用双阈值检测边缘

- 两个阈值 T_1 , T_2 : $T_2 \gg T_1$
 - 由 T_1 得到 $E_1(x, y)$, 低阈值边缘图: 更大的误检测率
 - 由 T_2 得到 $E_2(x, y)$, 高阈值边缘图: 更加可靠
- 边缘连接:



边缘连接

1. 将 $E_2(x, y)$ 中相连的边缘点输出为一幅边缘图像 $E(x, y)$
2. 对于 $E(x, y)$ 中每条边，从端点出发在 $E_1(x, y)$ 中寻找其延长的部分，直至与 $E(x, y)$ 中另外一条边的端点相连，否则认为 $E_1(x, y)$ 中没有它延长的部分
3. 将 $E(x, y)$ 作为结果输出

Canny算子：流程



原始图像



原始图像经过Gauss平滑

Canny算子：流程



梯度幅值图像



梯度幅值经过非极大值抑制

Canny算子：流程



低阈值边缘图像

高阈值边缘图像

Canny输出边缘图像



使用Canny算子需要注意的问题

- Canny算子的优点：
 - 参数较少
 - 计算效率
 - 得到的边缘连续完整
- 参数的选择：
 - Gauss滤波的尺度
 - 双阈值的选择 ($LOW = HIGH * 0.4$)

canny: 0.04 0.1 Gaussian: 1



canny: 0.04 0.1 Gaussian: 3



canny: 0.04 0.1 Gaussian: 5



canny: 0.04 0.1 Gaussian: 7



canny: 0.04 0.1 Gaussian: 9



canny: 0.04 0.1 Gaussian: 11



渐增高斯滤波模版的尺寸

canny: 0.04 0.1



canny: 0.08 0.2



canny: 0.12 0.3



canny: 0.16 0.4



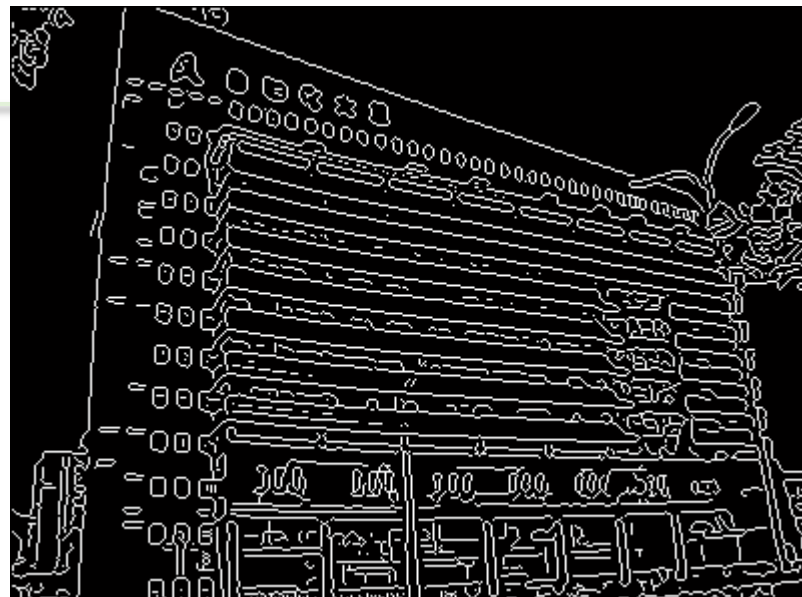
canny: 0.2 0.5



canny: 0.24 0.6

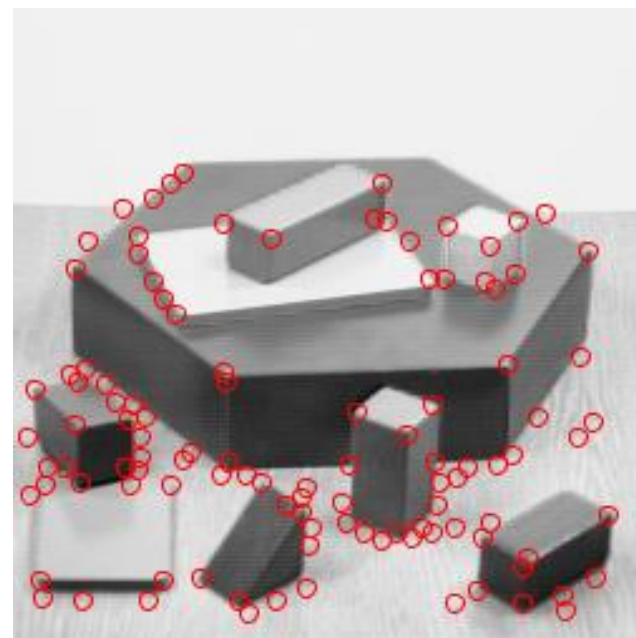
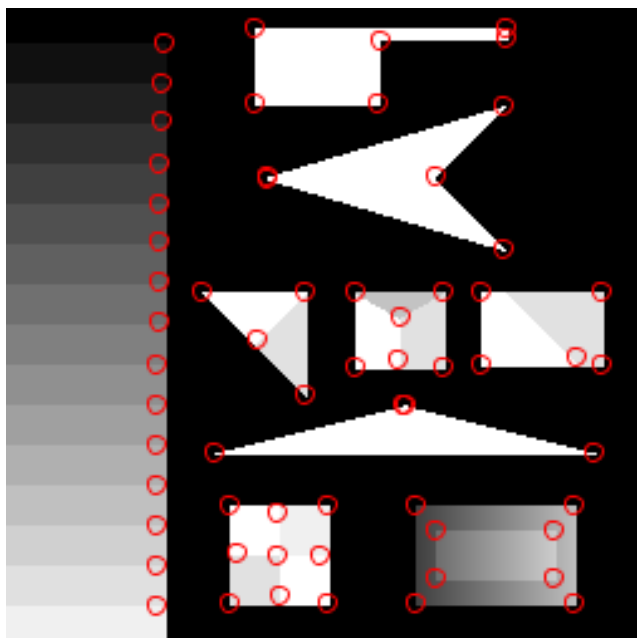
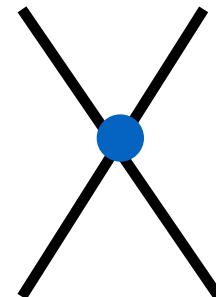
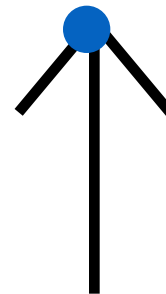
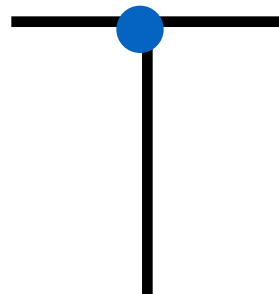
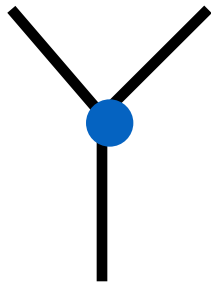
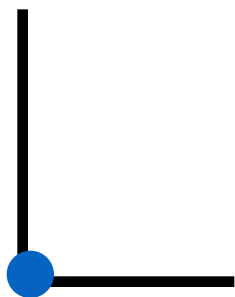


渐增双阈值的大小，保持 $\text{low} = \text{high} \times 0.4$



图像特征点提取

不同类型的角点



提取点特征的作用

- 图像的点特征是许多计算机视觉算法的基础：使用特征点来代表图像的内容
 - 运动目标跟踪
 - 物体识别
 - 图像配准
 - 全景图像拼接
 - 三维重建



什么是好的角点检测算法？

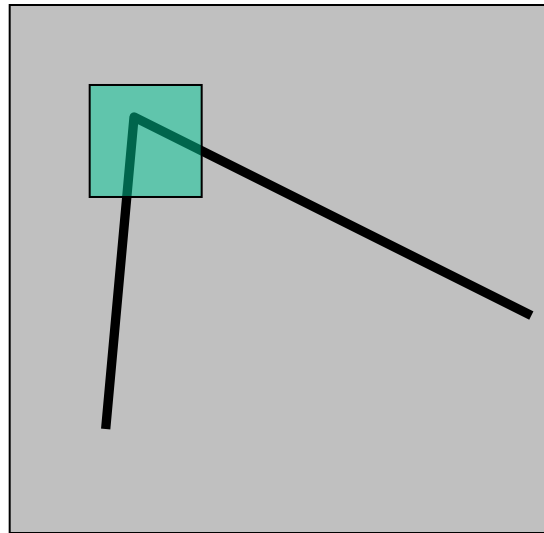
- 检测出图像中“真实的”角点
- 准确的定位性能
- 很高的重复检测率（稳定性好）
- 具有对噪声的鲁棒性
- 具有较高的计算效率

角点检测算法

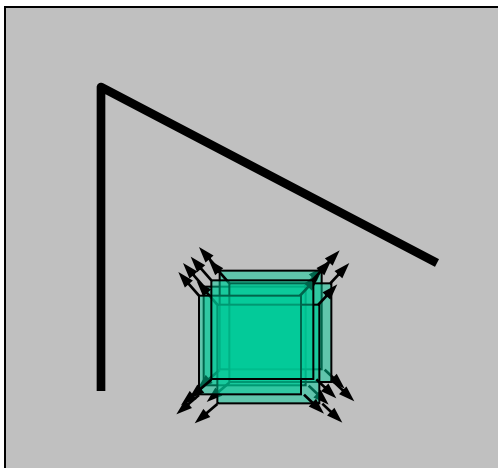
- Harris角点
- ORB特征

Harris角点检测基本思想

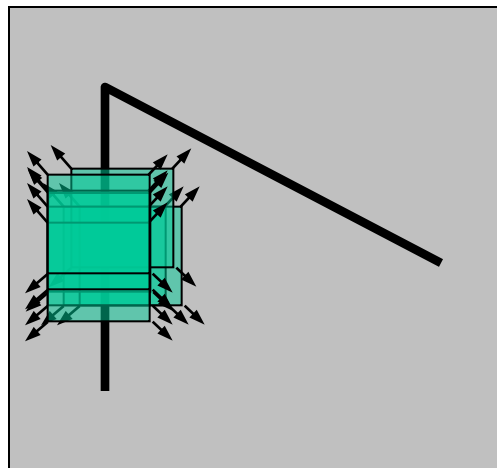
- 从图像局部的小窗口观察图像特征
- 角点定义 \leftarrow 窗口向任意方向的移动都导致图像灰度的明显变化



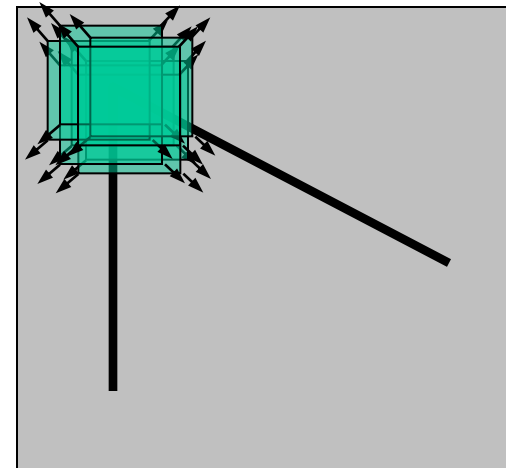
Harris角点检测基本思想



平坦区域：
任意方向移动，
无灰度变化



边缘：
沿着边缘方向移动，
无灰度变化



角点：
沿任意方向移动，
明显灰度变化

Harris检测：数学表达

将图像窗口平移 $[u, v]$ 产生灰度变化 $E(u, v)$

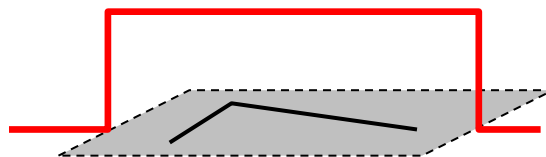
$$E(u, v) = \sum_{x, y} w(x, y) [I(x + u, y + v) - I(x, y)]^2$$

窗口函数

平移后的
图像灰度

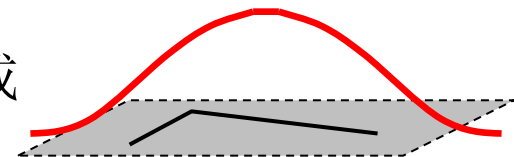
图像灰度

窗口函数 $w(x, y) =$



1 in window, 0 outside

或



Gaussian

Harris检测：数学表达

$$E(u, v) = \sum_{x, y} w(x, y) [I(x + u, y + v) - I(x, y)]^2$$

$$I(x + u, y + v) = I(x, y) + I_x u + I_y v + O(u^2 + v^2)$$

➔
$$E(u, v) = \sum_{x, y} w(x, y) [I_x u + I_y v + O(u^2 + v^2)]^2$$

$$(I_x u + I_y v)^2 = I_x^2 u^2 + 2I_x I_y uv + I_y^2 v^2$$

$$= (u, v) \begin{pmatrix} I_x^2 & I_x I_y \\ I_x I_y & I_y^2 \end{pmatrix} \begin{pmatrix} u \\ v \end{pmatrix}$$

Harris检测：数学表达

于是对于局部微小的移动量 $[u, v]$ ，可以近似得到下面的表达：

$$E(u, v) \cong (u, v)M \begin{pmatrix} u \\ v \end{pmatrix}$$

其中 M 是 2×2 矩阵，可由图像的导数求得：

$$M = \sum_{x,y} w(x, y) \begin{pmatrix} I_x^2 & I_x I_y \\ I_x I_y & I_y^2 \end{pmatrix}$$

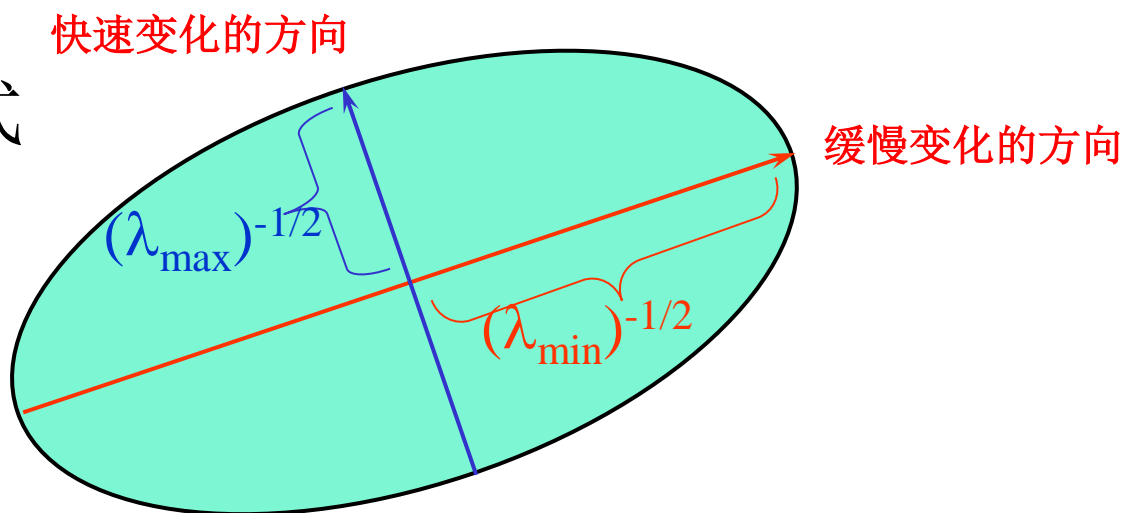
Harris检测：数学表达

窗口移动导致的图像变化：实对称矩阵 M 的特征值分析

$$E(u, v) \cong (u, v)M \begin{pmatrix} u \\ v \end{pmatrix}$$

$\lambda_{\max}, \lambda_{\min} \leftarrow M$ 的特征值

$E(u, v)$ 的椭圆形式



Harris检测：数学表达

通过 M 的两个特征值的大小对图像点进行分类：

如果 λ_1 和 λ_2 都很小，
图像窗口在所有方向上
移动都无明显灰度变化

λ_2

“Edge”

$\lambda_2 \gg \lambda_1$

● “Corner”

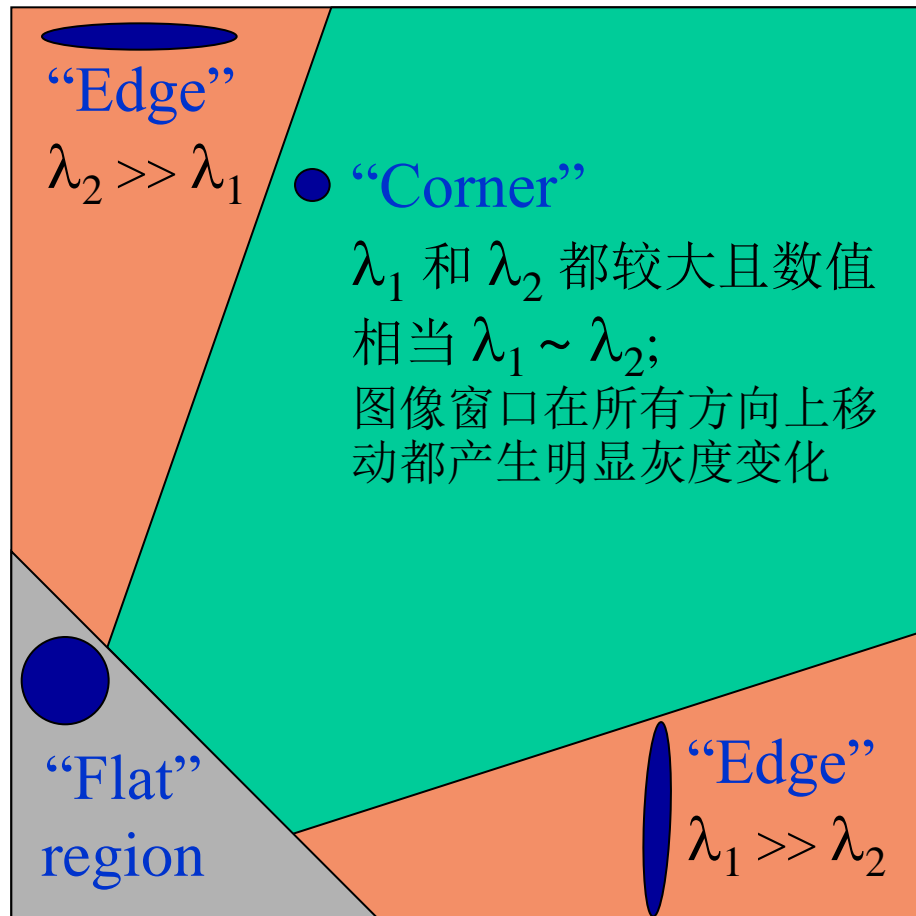
λ_1 和 λ_2 都较大且数值相当 $\lambda_1 \sim \lambda_2$;
图像窗口在所有方向上移动都产生明显灰度变化

“Flat”
region

“Edge”

$\lambda_1 \gg \lambda_2$

λ_1



Harris检测：数学表达

定义：角点响应函数 R

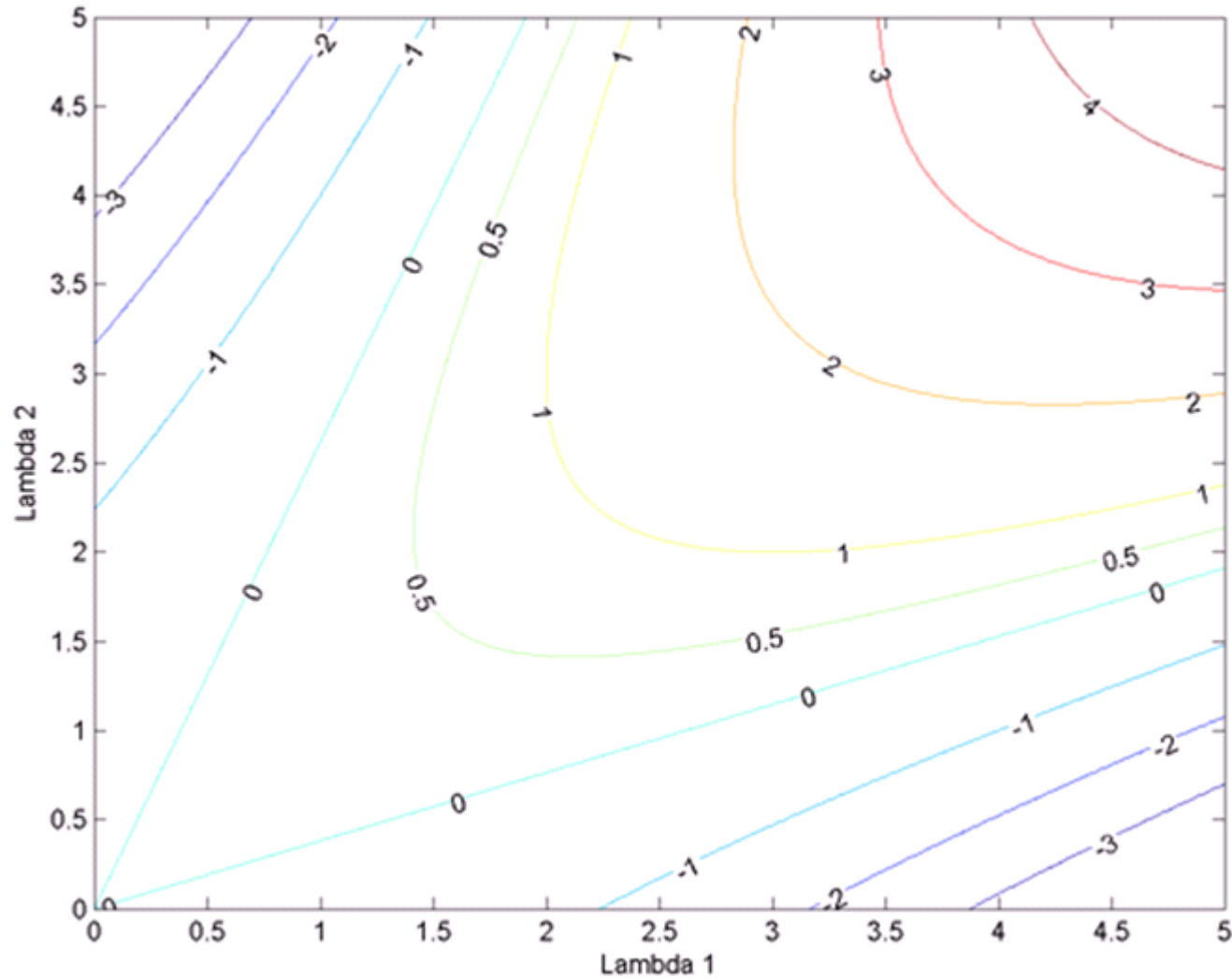
$$R = \det M - k(\text{trace } M)^2$$

$$\det M = \lambda_1 \lambda_2$$

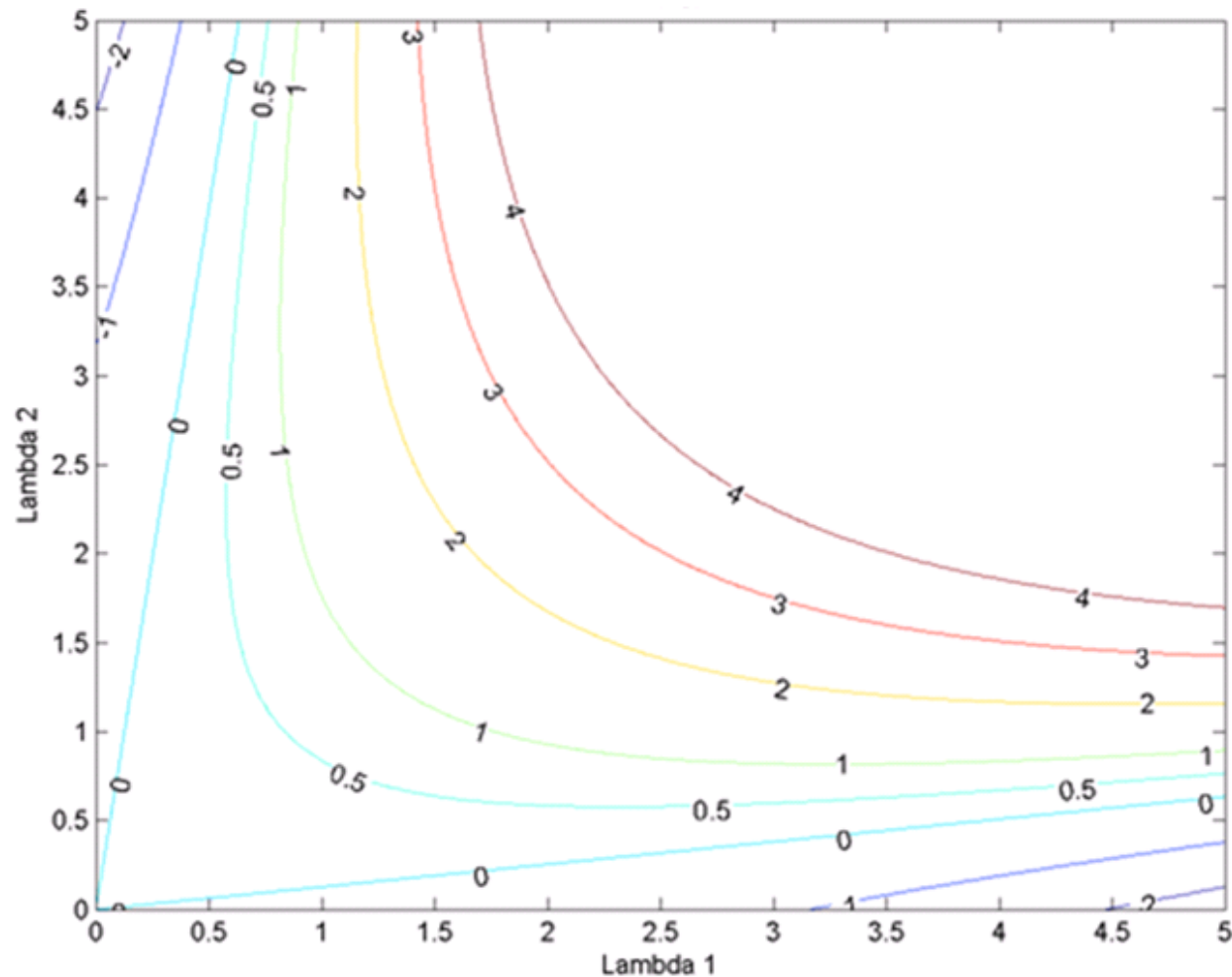
$$\text{trace } M = \lambda_1 + \lambda_2$$

(k – empirical constant, $k = 0.04-0.06$)

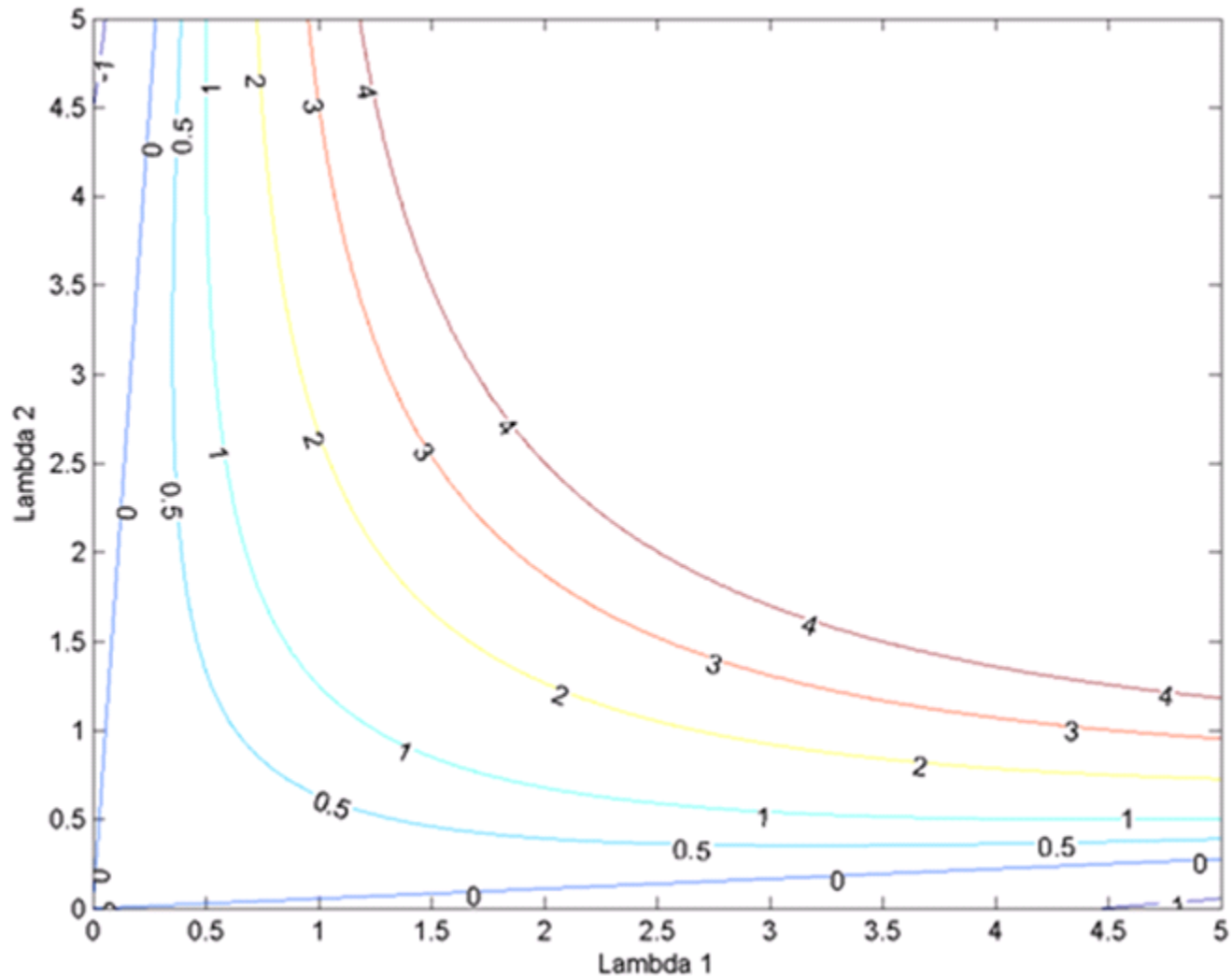
R 的等高线图 ($k = 0.2$)



R 的等高线图 ($k = 0.1$)

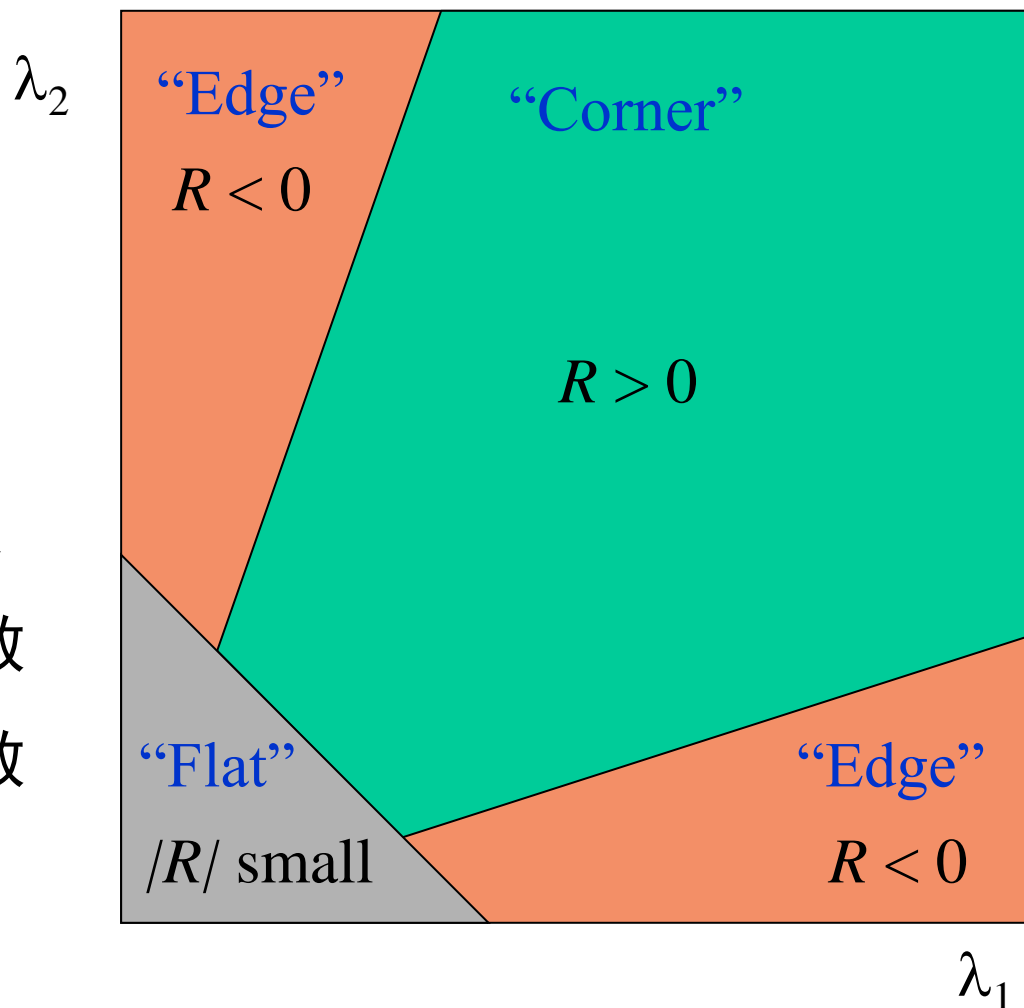


R 的等高线图 ($k = 0.05$)



Harris检测：数学表达

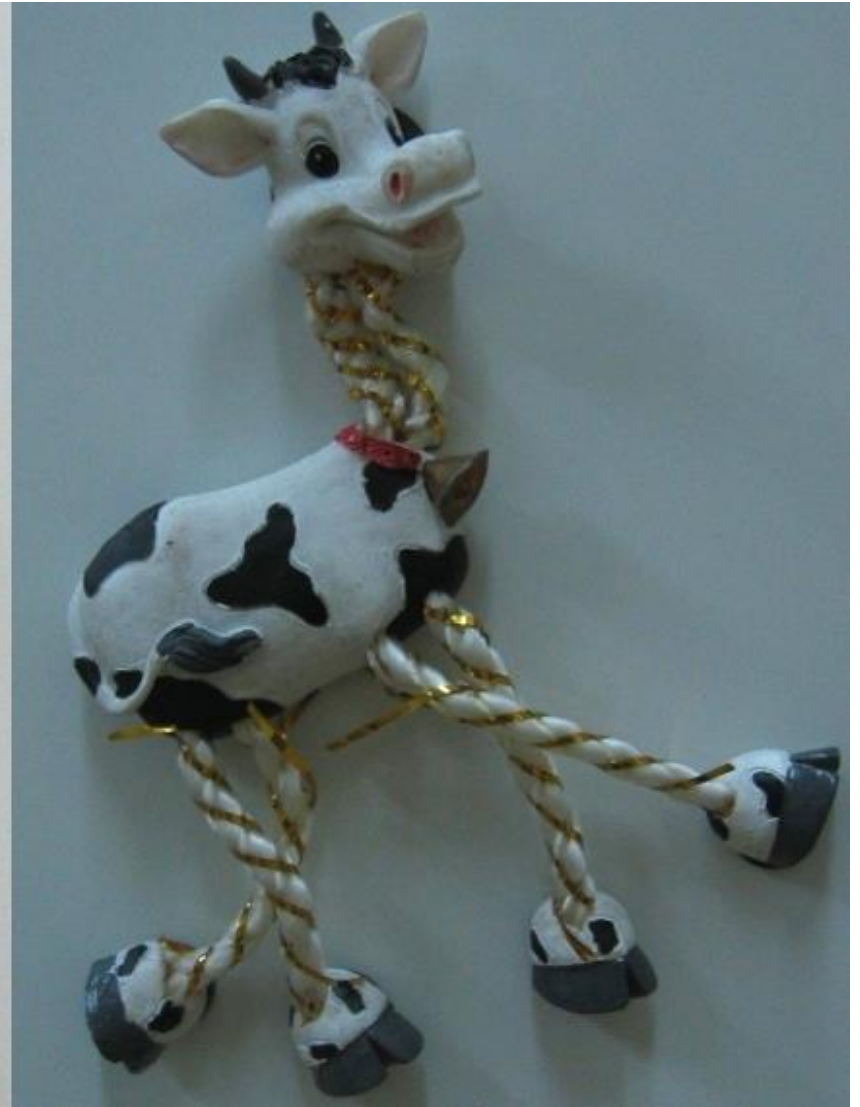
- R 只与 M 的特征值有关
- 角点： R 为大数值正数
- 边缘： R 为大数值负数
- 平坦区： R 为小数值



Harris角点检测

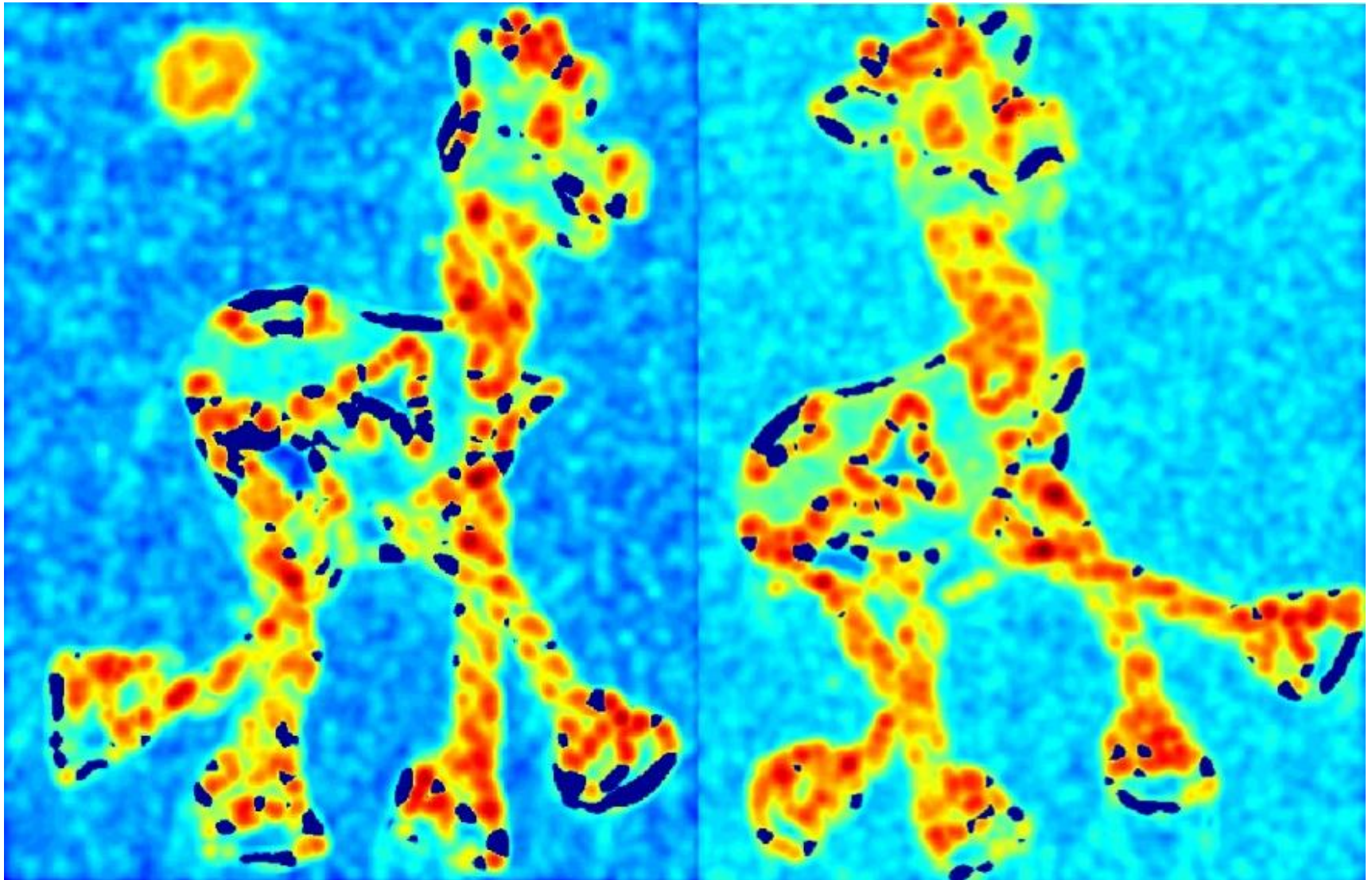
- 算法：
 - 对角点响应函数 R 进行阈值处理：
$$R > \text{threshold}$$
 - 提取 R 的局部极大值

Harri's角点检测：流程



Harris角点检测：流程

角点响应函数R



Harris角点检测：流程

提取R的局部极值



Harris角点检测：流程



Harris角点检测：小结

- 沿方向 $[u, v]$ 的平均灰度变化可以表达成双线性形式：

$$E(u, v) \cong (u, v) M \begin{pmatrix} u \\ v \end{pmatrix}$$

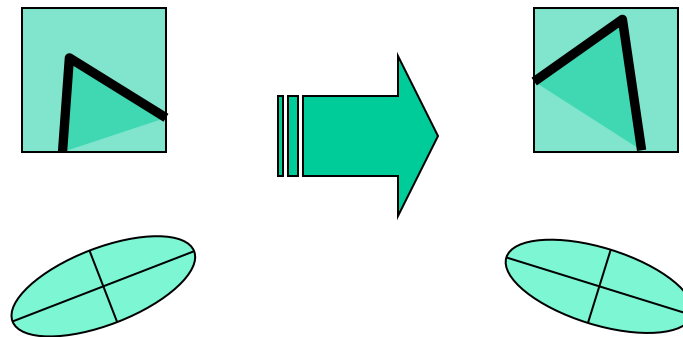
- 使用 M 的特征值表达图像点局部灰度变化的情况，定义角点响应函数：

$$R = \det M - k(\text{trace } M)^2$$

- 一个好的角点沿着任意方向移动都将导致明显的图像灰度变化，即： R 具有大的正数值。

Harris角点的性质

- 旋转不变性：



椭圆转过一定角度但是其形状保持不变
(特征值保持不变)

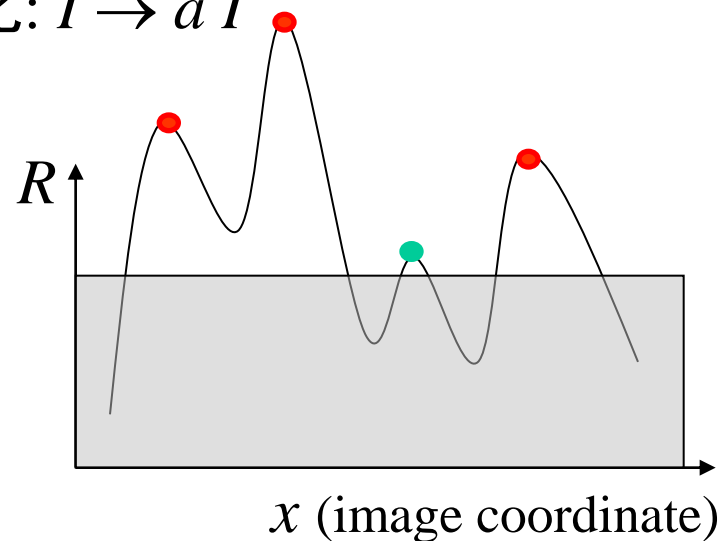
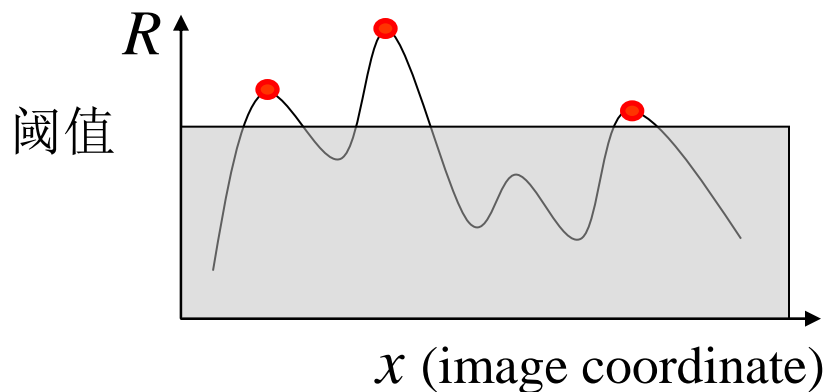
角点响应函数 R 对于图像的旋转具有不变性

Harris角点的性质

- 对于图像**灰度**的仿射变化具有部分的不变性
 - ✓ 只使用了图像导数 \Rightarrow 对于灰度平移变化不变

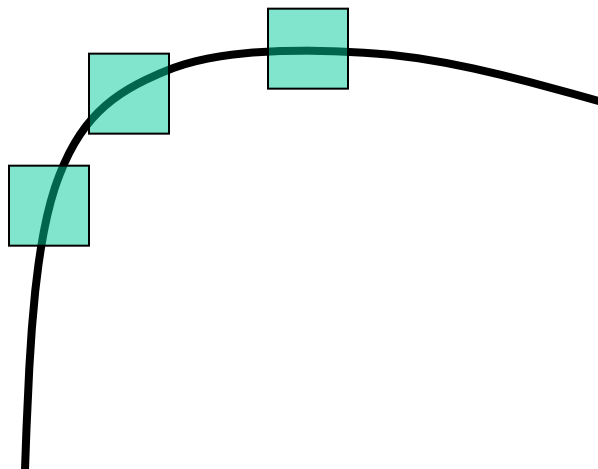
$$I \rightarrow I + b$$

- ✓ 对于图像灰度的尺度变化: $I \rightarrow a I$



Harris角点的性质

- 对于图像几何尺度变化不具有不变性：



这几个点被分类为边缘点



图像缩小



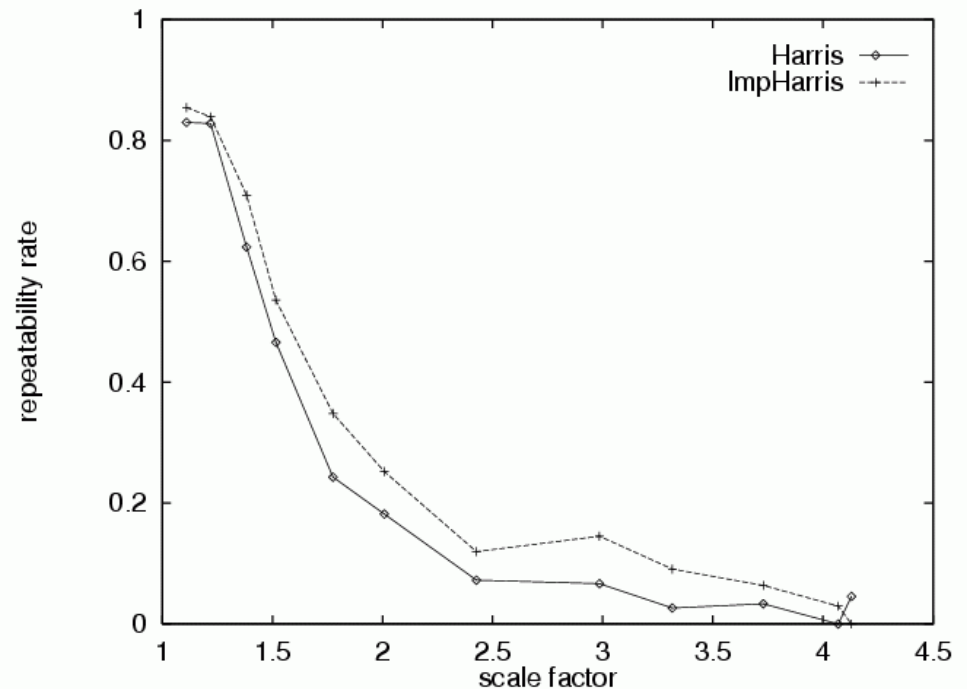
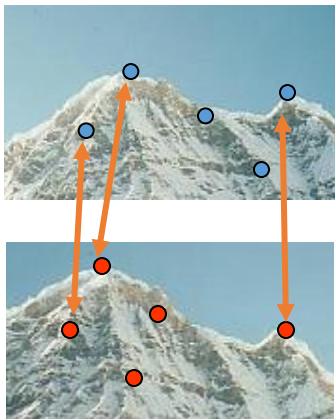
角点！

Harris角点的性质

- 随尺度变化, Harris角点检测的性能下降

Repeatability rate:

$$\frac{\# \text{ correspondences}}{\# \text{ possible correspondences}}$$



ORB特征检测

(Oriented FAST and Rotated BRIEF)

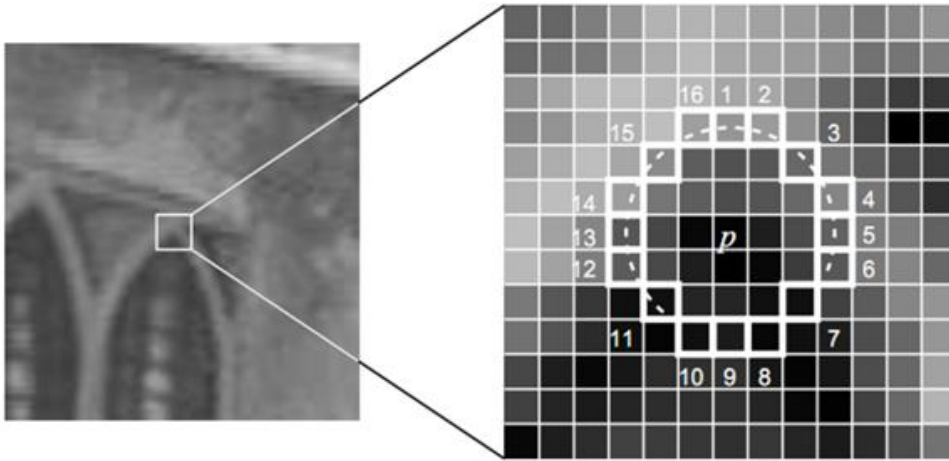
ORB特征

- ORB (Oriented FAST and Rotated BRIEF)
- ORB = FAST + BRIEF (改进的版本)
- 研究动机：快速性、兼顾准确性
- FAST (features from accelerated segment test)
 - 假设：若该点的灰度值比其周围领域内足够多的像素点的灰度值大或者小，则该点可能为角点。

Edward Rosten, Reid Porter, and Tom Drummond, "Faster and better: a machine learning approach to corner detection" in IEEE Trans. Pattern Analysis and Machine Intelligence, 2010, vol 32, pp. 105-119.

ORB特征

- Fast-N:
$$N = \sum_{x \in \text{circle}(p)} |I(x) - I(p)| > \epsilon_d$$



参考

- Harris角点：
C.Harris, M.Stephens. “A Combined Corner and Edge Detector”. Proc. of 4th Alvey Vision Conference, 1988
- 一个介绍角点检测的网站：
<http://www.cim.mcgill.ca/~dparks/CornerDetector/index.htm>
- 一个PPT讲义： Darya Frolova, Denis Simakov, Matching with Invariant Features, The Weizmann Institute of Science, March 2004

小节

- 边缘检测、特征点检测是计算机视觉中最基本的问题
 - 微分算子
 - Canny
 - Harris
 - ORB->Fast
- 没有一种统一的方法可以解决这两个问题：
 - 抑制噪声的能力
 - 定位精度
 - 计算的复杂程度

课后练习

- 1 试选用一个深度学习框架实现LeNet
- 2 试使用C++语言实现Harris角点检测算法

谢谢